



UNIUNEA EUROPEANĂ



GUVERNUL ROMÂNIEI



Fondul Social European
POSDRU 2007-2013



Instrumente Structurale
2007-2013



MINISTERUL
EDUCAȚIEI
NAȚIONALE

OIPOSDRU



Universitatea Politehnica
din Bucuresti

FONDUL SOCIAL EUROPEAN

Investește în oameni!

Programul Operațional Sectorial pentru Dezvoltarea Resurselor Umane 2007 – 2013. Proiect POSDRU/159/1.5/S/134398
Dezvoltarea resurselor umane din cercetarea doctorală și postdoctorală: motor al societății bazată pe cunoaștere -KNOWLEDGE



UNIVERSITATEA POLITEHNICA DIN BUCUREȘTI

Facultatea Automatică și Calculatoare

REZUMATUL TEZEI DE DOCTORAT

Redarea de scene masive în timp real

Rendering massive scenes în real-time

Autor:

Msc. Ing. Alexandru Lucian Petrescu

Conducător Științific

Prof. Dr. Ing. Florica Moldoveanu

București 2015

ABSTRACT:

În această teză este propusă o bandă grafică nouă, care poate lucra cu un număr mare de traiectorii de lumină în timp real, folosind tehnici inovative care decuplează procesul de redare în mai multe componente modulare și cu consum de memorie eficient. Sunt prezentate mai multe contribuții și comparate cu algoritmi de ultimă oră, care sunt sau pot fi folosiți în contextul redării în timp real a imaginilor de sinteză. Aceasta bandă grafică originală poate reda atât imagini de înaltă calitate în timp real cât și imagini foto realiste în mod interactiv. Contribuțiile acestei teze sunt împărțite în metode de redare geometrice și metode de iluminare. Algoritmii de redare geometrică modifică metode de rasterizare de ultimă oră în scopul redării mai eficiente a scenelor mari, prin decuplarea bandwidth-ului (rata de access la date) non geometric, provenit din date de texturare de calculele geometrice. Aceasta abordare reduce drastic bandwidth-ul consumat și este implementată atât pentru obiecte opace cât și pentru obiecte transparente, în algoritmi de redare noi, numiți „Virtual Deferred” și „Virtual Order Independent Transparency”. Aceste metode de redare sunt integrate într-un sistem de texturare virtuală. Imaginea obiectelor opace rasterizate este îmbunătățită cu un nou algoritm de anti-aliasing, bazat pe reconstrucție sub geometrică, specializat pentru algoritmi de tip „Deferred”, care îmbunătățește metodele de anti-aliasing de ultimă oră. Obiectele transparente sunt iluminate și texturate adaptiv, îmbunătățind astfel complexitatea de redare a obiectelor transparente a algoritmilor de rasterizare ultimă oră.

Această teză introduce atât metode de iluminare exacte cât și aproximative. Metodele aproximative decuplează frecvențele înalte de frecvențele joase în transportul de lumina, calculându-le pe fiecare în mod diferit. „Conservative Inexact Voxelization” este o metodă nouă de voxelizare, cu o complexitate de construcție mult mai bună decât complexitățile folosite de metodele de ultimă oră și care beneficiază de informația stocată de algoritmi de tip „Deferred”. Această metodă de voxelizare e folosită pentru a reduce complexitatea operatorului de vizibilitate din ecuația de redare, funcționând ca o structură de determinare de vizibilitate pentru iluminare cu lumini virtuale. Operatorul de vizibilitate introdus cu această structură de date este adaptiv din punct de vedere al percepției, fiind aproape exact în volumul de vizualizare și inexact în afara lui. Metodele corecte de iluminare generează imagini cu algoritmul „Path Tracing Bidirecțional”, care folosește un nou tip de eșantionare de importanță. Algoritmul „Light Flux” de eșantionare de importanță introduce o nouă structură de date, prin care traiectoriile neproductive trasate de la cameră spre scenă pot fi legate rapid de vârfulurile din traiectoriile de lumină, scăzând astfel timpul de redare al algoritmului „Path Tracing Bidirecțional”.

Cuvinte cheie: *redare în timp real, decuplare, reducere bandwidth, scene complexe, iluminare globală*

LISTA DE PUBLICATII ȘI PROIECTE DE CERCETARE:

Lucian Petrescu, Anca Morar, Florica Moldoveanu, Victor Asavei, “Real time reconstruction of volumes from very large datasets using CUDA”, în the 15th International Conference on System Theory, Control, and Computing (ICSTCC), 14-16 Octombrie, pp 1-5, ISBN: 978-1-4577-1173-2, 2011

Anca Morar, Florica Moldoveanu, Victor Asavei, Lucian Petrescu, Alin Moldoveanu, Alexandru Egner, “GPGPU Based Non-photorealistic Rendering of Volume Data”, în Control Engineering and Applied Informatics (CEAI), vol.15, no. 1, pp. 45-52, 2013

Lucian Petrescu, Moldoveanu Florica, Moldoveanu Alin, Morar Anca, Asavei Victor, “Efficient Picking Through Atomic Operations”, 19th International Conference on Control Systems and Computer Science (CSCS), pp 66-70, ISBN: 978-1-4673-6140-8, 29-31 Mai 2013 2013

Lucian Petrescu, Moldoveanu Florica, Victor Asavei, Moldoveanu Alin, Oana Ferche, “A GPU Task Generator for Rendering” în ICSTCC 2014 - 18th International Conference On System Theory, Control and Computing, pp. 562-567, ISBN: 978-1-4799-4602-0, Octombrie, 2014.

Lucian Petrescu, Florica Moldoveanu, Victor Asavei, Alin Moldoveanu, “Analyzing Deferred Rendering Techniques”, în Control Engineering and Applied Informatics (CEAI), acceptat, în proces de publicare.

Lucian Petrescu, Florica Moldoveanu, Victor Asavei, Alin Moldoveanu, “Virtual deferred rendering”, în 20th International Conference on Control Systems and Computer Science (CSCS), pp 373-378, ISBN 978-1-4799-1780-8, DOI 10.1109, 27-29 Mai, 2015.

Lucian Petrescu, Florica Moldoveanu, Victor Asavei, Alin Moldoveanu, “Guarded Order Independent Transparency”, The Scientific Bulletin of University POLITEHNICA of Bucharest, Series C, Electrical Engineering and Computer Science, Vol. 77, Iss. 1, ISSN 2286-3540, Aprilie, 2015 .

Proiectul „Personalized implants for hip arthroplasty” (SABIMAS, PNCDII-Joint Applied Research Projects, 2008-2011). <http://se.cs.pub.ro/SABIMAS/>.

CONȚINUT

1. INTRODUCERE	5
1.1. Motivație	5
1.2. Contribuții	6
1.3. Structura Tezei	7
2. PROCESARE DE GEOMETRIE	8
2.1. Streaming	8
2.1.1. Redare Indirectă	9
2.1.2. Impostori Ierarhici	10
2.2. Generare de Task-uri în Rasterizare	11
2.3. Decupare Ierarhica pe GPU	13
2.4. Rasterizare de Obiecte Opace	14
2.4.1. Deferred Virtual	14
2.5. Rasterizare de Obiecte Transparente	16
2.5.1. Transparența Independentă de Ordine Virtuală	17
2.5.2. Hărți de Ocupare cu Distribuții	19
2.6. Selecție de Geometrie cu Operații Atomice	21
3. ILUMINARE	23
3.1. Iluminare Aproximativă	24
3.1.1. Transport de Lumină pentru Lumini Dominante	24
3.1.2. Voxelizare Inexactă Conservativă	25
3.1.3. Transport de Lumină pentru Lumini Secundare	28
3.1.3.1. Transport de Lumină de Frecvență Joasă	28
3.1.3.2. Transport de Lumină de Frecvență Înaltă	30
3.1.4. Colorare de Obiecte Opace	31
3.1.5. Antialiasing Sub Pixel Decuplat	32
3.1.6. Colorare de Obiecte Transparente	34
3.2. Iluminare Corectă	35
3.2.1. Determinare de Vizibilitate Amortizată	35
3.2.2. Eșantionare de Importanță Light Flux	36
3.2.3. Path Tracing Bidirecțional	38
4. CONCLUZII	39
BIBLIOGRAFIE	40

1. INTRODUCERE

1.1. Motivație

Grafica pe calculator și vizualizarea sunt domenii stabilite în știința calculatoarelor. Scopul lor principal este analiza, sinteza și manipularea datelor vizuale, concentrate pe aspecte matematice și computaționale în loc pe cele estetice. Redarea în timp real este un subiect specializat în domeniul graficii pe calculator, care încearcă să recreeze rezultatele vizuale din grafica pe calculator, doar că prioritizează interactivitatea și are scopul final de a menține iluzia unei realități virtuale continue. Oamenii percep realitatea din jurul lor ca o secvență de imagini care sunt reconstruite inconștient de către creier într-o singură mișcare. Procesul acesta poate fi simulat în redarea în timp real și poate să creeze o iluzie convingătoare a realității, cu un număr de cadre suficient de mare, de obicei mai mare de 60. Scenele masive conțin un număr foarte mare de obiecte ce sunt distribuite inegal din punct de vedere spațial și care variază în dimensiuni și proprietăți. Aceste scene sunt uzuale în redarea în timp real pentru că ele descriu vederi comune din viața reală.

Scopul principal al acestei teze este acela de a introduce o nouă bandă de redare pentru scene masive, care folosește rasterizarea și care minimizează memoria și rata accesului la memorie, oferind performanță de rulare stabilă și o decuplare puternică a algoritmilor utilizați.

Cu toată că ecuația de redare este separabilă, algoritmii de redare sunt de obicei monolitici și suferă de un nivel ridicat de cuplare, de aceea ei pot fi greu de menținut și și mai greu de analizat. Găsirea de noi metode de decuplare a proceselor și metodelor utilizate în banda de redare poate oferi noi oportunități în proiectarea algoritmilor. Rezolvarea cuplării ridicate și a costurilor mari de mentenanță implicate de aceasta reprezintă unul dintre motivele tezei, căutarea și găsirea de metode prin care se crește modularitatea între multele componente utilizate în generarea imaginii finale din redarea în timp real. Stabilitatea numărului de cadre pe secunda este la fel de importantă ca viteza procesului de redare. Variațiile de performanță sunt de obicei cauzate de operații infrecvente ca streaming-ul de date și conversia lor, și reprezintă de asemenea un motiv de cercetare.

Mărimea spațiului de stocare, eficiența accesului la acesta și consumul de bandwidth sunt în general aspectele de performanță cele mai importante în redarea în timp real. Deoarece puterea de procesare a GPU-urilor crește cu o rată semnificativ mai mare decât cea a eficienței memoriei, importanța utilizării judicioase a memoriei va continua să crească. Un obiectiv al acestei teze este de a oferi algoritmi îmbunătățiți care minimizează spațiul de stocare și bandwidth-ul pentru redarea de obiecte transparente sau opace. Cu toate că deja exista un număr foarte mare de lucrări științifice pe tema rasterizării de obiecte opace, încă există oportunitatea de a îmbunătăți utilizarea resurselor și de a decupla algoritmi folosiți în benzile de redare de ultimă oră.

Iluminarea globală (IG) pentru redarea în timp real rămâne o problemă nerezolvată. Există multe clase de algoritmi ce încearcă să rezolve problema IG: bazați pe fotoni, pe multe lumini, pe raze, pe path-uri (spații definite pe seturi de raze) sau pe cache-ul de iradianță. În pofida acestei multitudini de soluții, aplicațiile acestor algoritmi în timp real sunt reduse, de aceea necesitatea pentru IG rapid, inexact nu a fost satisfăcută. Unul din scopurile acestei teze este de a oferi noi algoritmi pentru IG.

1.2. Contribuții

Această teză introduce o nouă bandă de redare bazată pe rasterizare, care are un grad mare de decuplare și o utilizare eficientă a memoriei. Această bandă de redare decuplează submișile de redare de submișile de stare, determinarea de vizibilitate de citirea texturilor, citirea texturilor de colorare și post procesarea de citirea texturilor. Banda de redare prezentată conține multe contribuții, ce variază de la îmbunătățirea algoritmilor existenți la metode de redare complet noi. Comparată cu benzile de redare de ultimă oră bazate pe rasterizare, banda de redare prezentată este semnificativ mai eficientă în a rezolva probleme de redare cu bandwidth ridicat, ca probleme ce apar în redarea de scene masive.

Teza introduce un nou algoritm pentru redarea de obiecte opace. „Deferred Virtual” este un nou tip de algoritm „Deferred”, ce combina proprietățile algoritmilor de tip „Deferred” cu o singură redare de geometrie cu proprietățile texturării virtuale, pentru a obține cele mai bune metrice pentru probleme de redare de bandwidth și complexitate ridicată. „Deferred Virtual” folosește texturarea virtuală pentru a face streaming de date, care este necesară pentru toate desenările de scene masive. Principalele contribuții ale algoritmului „Deferred Virtual” sunt spațiul de stocare mic și rata scăzut de acces la memorie pentru redarea de scene masive cu obiecte complexe. O noua metoda de anti aliasing este introdusă, care este compatibilă cu „Deferred Virtual”. Aceasta metoda de anti-aliasing decuplează procesul de determinare de vizibilitate de procesul de colorare, și, comparată cu metodele de ultimă oră, necesită o rata redusă de acces la memorie. Metoda de antialiasing prezentată nu este morfologica și nu suferă astfel de artefacte temporale, neavând nevoie de reproiecție temporală în calcularea rezultatului final. Comparat cu metoda de ultimă oră SRAA, algoritmul prezentat folosește o metoda de legare la vecini mai exactă decât filtrul bilateral folosit în SRAA.

Etapă de colorare nu folosește rasterizare și este un proces complet executat GPGPU. Toate citirile de texturi sunt executate folosind cache-ul definit de grupul de lucru GPGPU. Această etapă este urmată de o etapă opțională de post procesare, în care kernelul de post procesare beneficiază de cache-ul grupului de lucru GPGPU.

Redarea corectă de obiecte transparente este în mod special dificilă pentru metodele de redare în timp real bazate pe rasterizare, deoarece modul în care rasterizarea oferă interacțiunile dintre obiecte și cameră nu este ordonat după axa de adâncime. De aceea metodele de rasterizare necesită procese de ordonare pe fiecare pixel, în algoritmi ce consumă foarte mult spațiu de stocare și bandwidth. Teza introduce algoritmul de Transparența Independentă de Ordine Virtuală (VOIT), care modifică algoritmul de ultimă oră „A-Buffer”. Asemănător cu algoritmul „Deferred Virtual”, VOIT folosește texturare virtuală și are scopul de a scădea spațiul de stocare și bandwidth-ul, mai ales pentru scene cu multe obiecte complexe. Comparat cu soluțiile deja existente, performanțele VOIT scalează mult mai bine cu complexitatea scenei. În afara de VOIT, teza mai prezintă un algoritm rapid și aproximativ pentru rasterizarea de obiecte transparente, ce modifică algoritmul de ultimă oră bazat pe hărți de ocupare. Metoda propusă îmbunătățește algoritmul de hărți de ocupare prin adăugarea unei distribuții de adâncime fiecărui pixel. Aceasta distribuție de adâncime este folosită pentru a ajusta distribuțiile eşantioanelor din harta de ocupare, crescând astfel virtual rezoluția hărții și astfel crescând calitatea aproximării funcției de opacitate definite peste harta de ocupare. Rezultatul acestei modificări este un rezultat final de o calitate superioară, ce utilizează aceleași resurse ca algoritmul original. Metoda prezentată

este astfel mult mai potrivită pentru redarea scenelor cu distribuții neuniforme de adâncime, așa cum sunt marea majoritate a scenelor masive.

Voxelizarea Inexactă Conservativă (CIV) este un nou algoritm de voxelizare inexactă, care scade complexitatea operației de voxelizare de la numărul de primitive din scenă la numărul de obiecte. Acest rezultat imperfect este obținut prin subdivizarea rapidă a volumelor încadratoare de forma cuboidă, care sunt stocate într-o reprezentare pe voxeli ierarhica a scenei. Un proces bazat pe algoritmul „Push-Pull” este folosit pentru a împrăștia informația pe toate nivelurile structurii ierarhice. CIV este o metoda inexacta de voxelizare cu scopul de a oferi informație aproximativă dar conservativă asupra structurii geometrice a scenei. CIV oferă informații suficient de exacte pentru diferite operații de determinare de vizibilitate. Această proprietate e folosită pentru a modifica ecuația de redare, schimbând operatorul exact de vizibilitate într-unul inexact dar conservativ. Acest operator inexact este apoi folosit într-o metodă bazată pe radiozitate instantanee, care creează un număr mare de lumini virtuale, folosind mai multe drumuri aleatoare prin structura bazată pe voxeli a scenei. După ce un număr suficient de mare de lumini virtuale a fost generat, scena este iluminată cu acestea, într-un proces analog algoritmilor „Deferred”. Comparat cu metodele de ultimă oră de voxelizare, algoritmul prezentat permite transportul rapid al luminii de frecvență joasă fără nici un fel de calcule a priori sau cazuri speciale pentru obiecte animate. Cu toate că metoda prezentată este construită pentru transportul de lumină de joasă frecvență, ea poate fi folosită pentru a augmenta rezultatele metodelor aproximative de transport de lumină de înalta frecvență.

Familia de algoritmi „Path Tracing” se apropie de limita de viteză a redării interactive, și cu toate că încă nu este folosibilă pentru redare în timp real, a atins un punct de relevanță pentru domeniul tezei. Teza introduce o bandă alternativă de redare, ce redă imagini fotorealiste cu algoritmul „Path Tracing Bidirecțional”, ce folosește un nou tip de eșantionare de importanță numit „Light Flux Importance Sampling” (LFIS). LFIS este folosit pentru a ghida path-urile neproductive către surse de lumină care sunt foarte probabil vizibile. Astfel, procesul de redare converge semnificativ mai repede. Algoritmul „Path Tracing Bidirecțional” mai folosește voxelizarea inexactă conservativă pentru a amortiza complexitatea operației de determinare de vizibilitate. Astfel, banda de redare interactivă prezentată obține imagini fotorealiste mai repede decât metodele de ultimă oră.

De asemenea teza introduce mai mulți alți algoritmi, ce îmbunătățesc diferite aspecte ale procesului de redare: impostori ierarhici, generare de sarcini pe GPU, noi metode de decupare și selecție de geometrie.

1.3. Structura Tezei

Teza este împărțită în cinci capitole: Introducere, State of the Art, Procesare de Geometrie, Iluminare și Concluzii. Capitolul de introducere prezintă motivația, domeniul și contribuțiile tezei. Capitolul de State of the art prezintă metode de ultimă oră folosite în redarea în timp real. Capitolul de Procesare de Geometrie prezintă diferiți algoritmi concepuți de autor, care sunt folosiți în rasterizarea de obiecte opace sau transparente. Capitolul de Iluminare discută algoritmi de transport de lumina de înaltă și joasă frecvență, cât și metodele de redare ce funcționează interactiv dar nu în timp real. Sunt prezentate contribuții originale în acest suiect. Capitolul de concluzii prezintă contribuțiile originale cuprinse în teză și impactul lor.

2. PROCESARE DE GEOMETRIE

Acest capitol descrie o parte a benzii de redare propuse în aceasta teză. Această parte se ocupă cu operațiile de determinare de vizibilitate, care sunt calculate cu ajutorul rasterizării. Algoritmii și modulele prezentate în acest capitol sunt descrise în Figura 1. Modulele desenate cu verde includ algoritmi noi, introduși în aceasta teză.

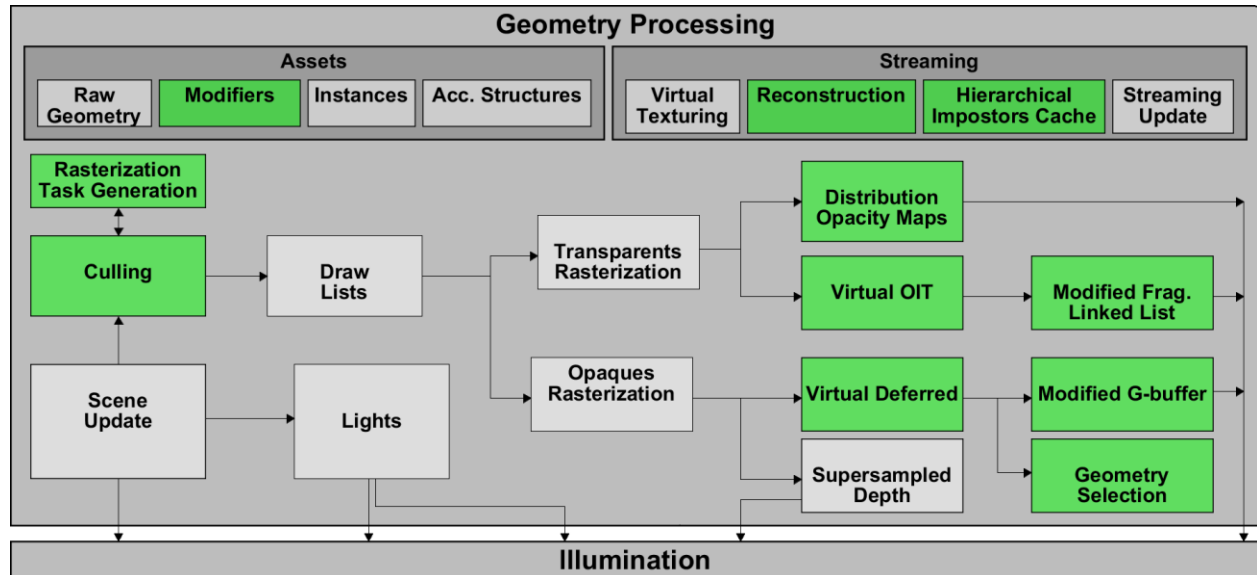


Figura 1 Modulele de Procesare de Geometrie.

2.1. Streaming

Pentru a calcula toate operațiile necesare procesului de redare, toate proprietățile obiectelor trebuie citite de pe hard disk, într-un proces de streaming. Din cauza aceasta una din contribuțiile minore ale tezei este de a rescrie toată definiția scenei prin modificatori, care iau un număr de obiecte de baza și le modifică, instantiază, deplasează sau le dau traiectorii. Toată informația descrisă prin hați poate fi ușor controlată printr-un sistem de paginare, ca texturarea virtuală. Texturarea virtuală aplică principiul datelor virtuale atât texturilor cât și nivelurilor de detaliu. Cum texturarea implica un proces de reconstrucție, în care o citire de textura implică citirea mai multor niveluri de detaliu și interpolarea rezultatelor, algoritmul de texturare virtuală trebuie să țină cont de acest lucru. Un sistem de texturare virtuală este prezentat în Figura 1.

Informația geometrică poate folosi sistemul corespondent pentru geometrie, numit plase poligonale virtuale, unde plasele poligonale și nivelurile lor de detaliu sunt tăiate în dimensiuni standard și desenate indirect.

Streaming-ul este un proces scump, deoarece toate citirile de date de pe hard disk sunt operații foarte lungi. Pentru a minimiza dimensiunea datelor citite, se folosesc algoritmi de compresie, cei mai folosiți fiind algoritmi pe blocuri, care sunt direct implementați în hardware. Acești algoritmi reduc dimensiunea texturilor fără a introduce artefacte vizuale perceptibile.

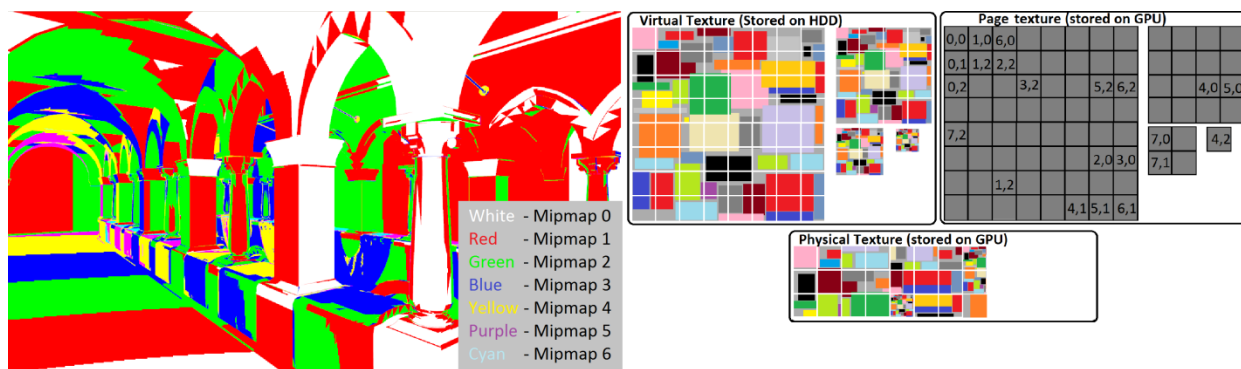


Figura 2 Texturare Virtuală.

Aplicațiile de texturare virtuală folosesc de obicei un sistem de graniță pentru marginile paginilor, pentru a preveni artefactele generate de eșantionări greșite. Mărimea graniței poate fi relaxată printr-o inovație recentă, ce implementează texturarea virtuală ca un sistem de pagini cu filtrare automată în hardware.

2.1.1. Redare Indirectă

Redarea indirectă este procesul în care datele nu sunt stocate într-o stare direct desenabilă, și dea aceea ele trebuie transformate într-un format compatibil cu algoritmi de redare. Redarea indirectă nu trebuie confundată cu desenarea indirectă, care este o funcționalitate a hardware-ului modern, cu care se pot genera comenzi de redare în mod indirect, fără vreun fel de interferență din partea CPU-ului. În general, redarea indirectă este folosită în redarea în timp real pentru norii de puncte sau pentru redările bazate pe voxelii, care sunt mai întâi reconstruite în plase poligonale triangularizate și apoi desenate normal. Acest proces este numit reconstrucție sau extragere de suprafață, și este operația inversă de la eșantionare, în cazul norilor de puncte și de la voxelizare, în cazul reprezentărilor volumetrice.

Extragerea de isosuprafețe este importantă în mod particular pentru redarea și vizualizarea științifică pentru că este ușor de paralelizat și este rezistentă la zgomot cu un număr relativ scăzut de eșantioane. Cele mai mari probleme ale algoritmilor de extragere de isosuprafețe sunt cerințele foarte mari de stocare cauzate de necesitatea de a lucra cu un număr mare de eșantioane cauzat de dimensiunea mare a seturilor reconstruite. Acest lucru se întâmplă des, mai ales la algoritmi ce lucrează pe seturi de date foarte mari, cum sunt cele folosite în vizualizarea medicală.

Teza prezintă o nouă adaptare pe GPGPU a algoritmului „Marching Cubes”, care minimizează memoria consumată, făcând posibilă reconstrucția seturilor de date foarte mari în timp real. Algoritmul prezentat împarte datele volumetrice în sub volume, fiecare limitat la o capacitate maximă, numite chunk-uri. Acestea sunt reconstruite în mod serial pe GPU. Aceasta metoda are nevoie de mai puțină memorie decât varianta standard GPGPU a algoritmului „Marching Cubes”. Algoritmul este vizual prezentat în Figura 3 și este publicat în [Pet11].

O alta proprietate utilă a algoritmului prezentat este că doar părțile relevante din setul de date volumetric sunt reconstruite la schimbarea datelor, astfel costul de reconstrucție este adaptiv în loc să fie constant.

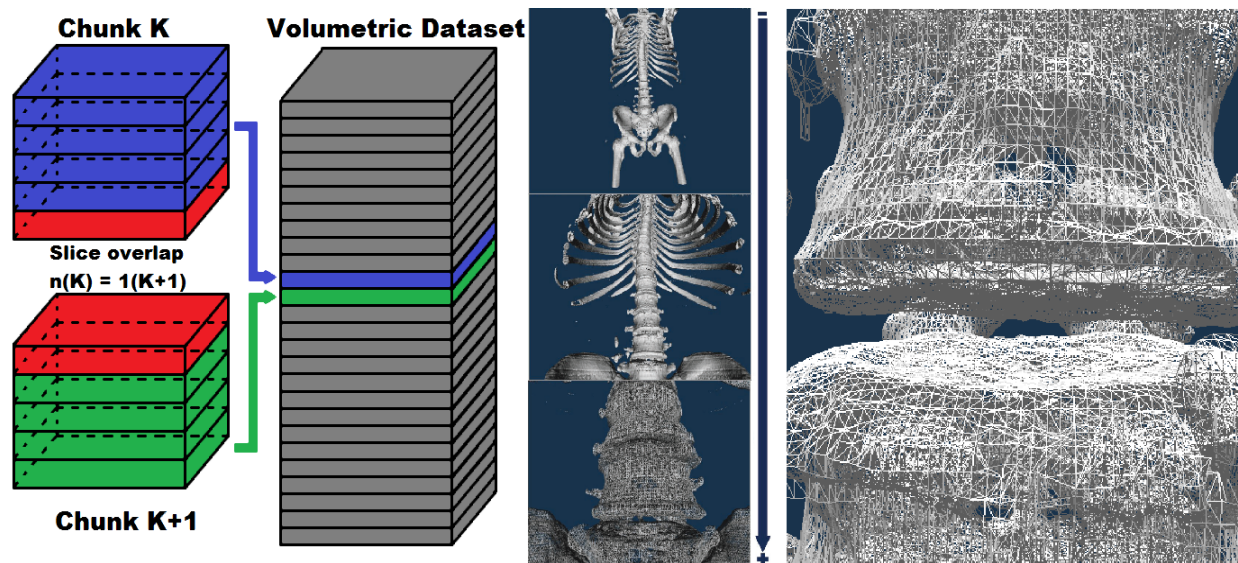


Figura 3 Algoritmul „Chunked Marching Cubes”.

Implementarea algoritmului prezentat a fost testată pe o placă video cu 1.5 GB de memorie GPU. Diferite mărimi au fost testate pentru chunk-uri, pentru a compara nivelurile de utilizare de memorie și de a găsi dimensiunea optimă. Ocuparea de memorie obținută cu aceste diferite mărimi este prezentată în Tabelul 1. Deoarece ocuparea poate fi calculată în timp real, ea este folosită ca o metrică pentru a determina care este cea mai bună mărime pentru reconstrucție.

Mărime Chunk (nr subdiviziuni)	RAM (MB)	Ocuparea memorie
32	1495	99.6
16	1440	96
8	1432	95.4
4	>1500	>100

Tabel 1 Ocuparea de memorie pentru algoritmul „Chunked Marching Cubes”.

Acest algoritm este utilizat într-o aplicație medicală, „3D for Medicine”, ca parte a proiectului european SABIMAS, PNCDII-Joint Applied Research Projects, 2008-2011), <http://se.cs.pub.ro/SABIMAS/> [SAB15].

Tehnica prezentată a fost adaptată pentru benzi de redare non fotoreliaste în [Mor13].

2.1.2. Impostori Ierarhici

Impostorii reprezintă o soluție parțială la două probleme din redarea în timp real: scalabilitatea și antialiasing-ul. Redarea cu impostori scade dramatic complexitatea geometrică a scenei desenate și de aceea scade semnificativ timpul de redare. Impostorii sunt reprezentări supra eșantionate ale obiectelor, stocate în imagini, și de aceea ele nu suferă de artefacte de reconstrucție, fiind reconstruite ca texturile. În plus, pentru că impostorii sunt stocați ca texturi, ei sunt foarte ușor de integrat într-un sistem de streaming ca texturarea virtuală.

Metoda nouă prezentată, impostori ierarhici, diferă de metodele de ultimă oră prin integrarea directă cu texturarea virtuală, prin abilitatea de a fi redați cu efecte de paralaxă și prin faptul că sunt aplicabili explicit pe grupuri de obiecte oricât de mari. Fiecare impostor ierarhic

reprezintă un grup de obiecte, și conține informație despre adâncime, normale și culori, ce poate fi folosită apoi pentru o redare de înalta calitate a obiectelor distante. Când distanța de redare și unghiul de redare cu care un impostor a fost creat diferă peste un prag față de caracteristicile de redare actuale ale obiectului, impostorul este actualizat.

Algoritmul este construit în special pentru scene foarte mari, în care nu toată informația necesară redării poate fi stocată în memoria video. Întreaga scenă este încărcată pe hard disk într-o structură de accelerare. În funcție de poziția și orientarea camerei, nodurile scenei care sunt mapate sus în structura de accelerare și care sunt mai departe de cameră decât un anumit prag au impostorii calculați și încărcăți. Astfel, impostorii vor fi încărcăți sau descărcăți prin streaming pentru toate obiectele vizibile și distante. Impostorii sunt reactualizați în funcție de unghiul de vedere și de distanța de vedere. Din cauza aceasta, o a doua structură de accelerare poate fi folosită pentru obiecte dinamice.

Metoda propusă redă impostorii cu efecte de paralaxă. Fiecare impostor este trimis la banda grafică ca un punct, care este apoi extins la un dreptunghi aliniat în spațiul ecranului numit „billboard”. Apoi billboard-ul este ajustat cu adâncimea impostorului și pentru fiecare fragment rezultat din rasterizarea billboard-ului se efectuează o dubla căutare, pentru a determina exact punctul de intersecție între cameră și suprafața. Prima dată se folosește o căutare liniară sau de secantă, ce determină aproximativ punctul de intersecție, care este urmată de o căutare binară, ce determină cu mare precizie punctul de intersecție. Informația de la punctul de intersecție e folosită în citirea din hărțile de culori și normale, prin care este reprezentat impostorul.

Metoda de impostori ierarhici propusă diferă de metodele de ultimă oră prin integrarea directă în texturare virtuală și prin construcția explicită peste multiple noduri de scenă. Deoarece metoda este ierarhică, utilizarea ei scade complexitatea procesului de redare de la $O(\text{obiecte})$ la $O(\log(\text{obiecte}))$.

2.2. Generare de Task-uri în Rasterizare

În acest subcapitol este introdus un generator de task-uri care lucrează sub planificatorul de rasterizare. În comparație cu celelalte generatoare și planificatoare de task-uri de ultimă oră, metoda introdusă nu funcționează în mod GPGPU ci funcționează în paralel cu procesul de rasterizare, de aceea face posibilă utilizarea de task-uri pe GPU pentru algoritmi de redare implementați în rasterizare.

Metoda prezentată se bazează pe ideea de a folosi funcționalitățile de amplificare geometrică ale benzii de rasterizare hardware pentru a genera task-uri pe GPU. Acest lucru este obținut prin utilizarea modelului de shader 5, și implementarea de shadere de teselare, geometrie și fragmente. Metoda a fost publicată în [Pet14].

Primitivele originale sunt trimise la o bandă de redare modificată. Etapele de teselare și geometrie sunt ori adăugate, în cazul în care lipsea, ori modificate, astfel încât să se potrivească cu necesitățile generatorului de task-uri. În shaderul de control de teselare, efortul computațional pentru primitiva curentă este calculat și dacă acesta depășește un prag definit de algoritmul de redare, se generează grupuri de task-uri. Grupurile de task-uri sunt apoi evaluate în shader-ul de evaluare de teselare, iar în shader-ul de geometrie mai multe alte sub-grupuri sunt create, folosind mecanismul de instanțiere de shader de geometrie.

Apoi, în shader-ul de geometrie, pentru fiecare sub-grup se efectuează o analiză a efortului computațional, și se generează un număr foarte mare de task-uri pentru fiecare sub-grup. În shader-ul de fragmente, fiecare din aceste task-uri este executat ca un fir de execuție GPGPU. Acest proces este reprezentat în Figura 4. De asemenea, figura prezintă faptul că generatorul de task-uri prezentat nu este recursiv.

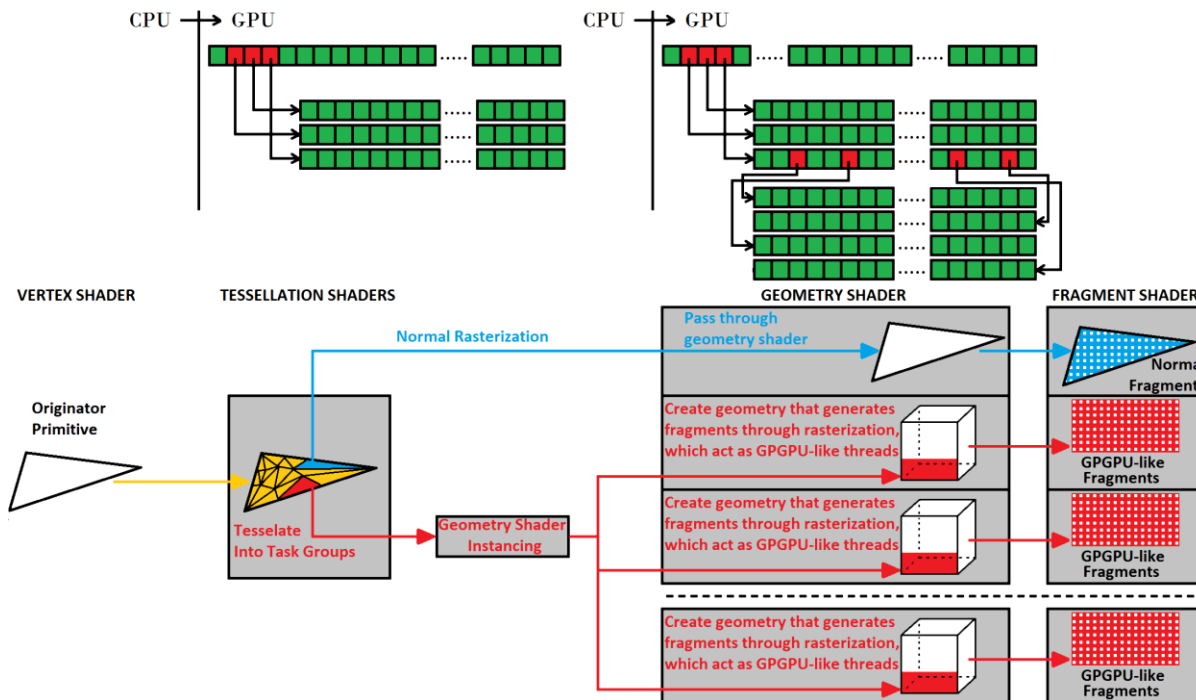


Figura 4 Generare de task-uri pentru rasterizare.

Primitiva originală este trimisă către rasterizare normală. Celelalte primitive sunt trimise către shader-ul de evaluare de teselare care decide pentru fiecare numărul de potențiale invocări a shader-ului de geometrie. Fiecare primitivă instanțiată în shader-ul de geometrie folosește o metrică dependentă de algoritmul de redare pentru a determina dimensiunea dreptunghiului aliniat la ecran, numit „billboard”, ce va fi desenat în spațiul de coordonate normalizate. Fiecare fragment obținut în urma rasterizării billboard-ului este un fragment ce funcționează ca un fir de execuție GPGPU. Aceste fragmente nu scriu în zone de memorie ale ecranului ci în zona de memorie a rezultatelor de task-uri. Astfel, folosind generatorul de task-uri prezentat, marea majoritate a problemelor de redare ce se rezolvă cu rasterizare hardware pot paraleliza eficient efortul computațional.

Deși generatorul de task-uri prezentat nu este recursiv, marea majoritate a problemelor de redare ce necesită paralelizare în cadrul rasterizării nu sunt recursive. Marile excepții, ca algoritmi de tip „Ray Tracing”, sunt eficient implementate prin alte metode, nu prin rasterizare.

Generatorul de task-uri prezentat pentru rasterizare este în întregime compatibil cu hardware-ul de rasterizare, lucrând prin planificatorul GPU pentru rasterizare. Generatorul poate genera task-uri în mod eficient, fără procesări a priori și nu monopolizează GPU-ul așa cum fac generatoarele și planificatoarele de task-uri de ultimă oră, ce controlează întreaga placă video.

Rezultatele de paralelizare obținute cu generatorul introdus sunt prezentate în Tabelul 2. DNP reprezintă non paralel dinamic.

Metoda Redare/ Task-uri	100k	200k	300k	400k	500k	600k	700k	800k	900k	1M	1.1M
DNP min	0.06	0.11	0.12	0.25	0.31	0.34	0.33	0.38	0.45	0.44	0.62
DNP med	0.07	0.15	0.25	0.30	0.38	0.35	0.35	0.48	0.60	0.63	0.76
DNP max	0.0	0.16	0.28	0.34	0.50	0.40	0.43	0.50	0.70	0.84	0.93
Metoda Prezentata min	0.00	0.00	0.01	0.01	0.01	0.01	0.02	0.02	0.02	0.02	0.03
Metoda Prezentata med	0.00	0.00	0.01	0.01	0.01	0.01	0.02	0.02	0.03	0.03	0.04
Metoda Prezentata max	0.00	0.00	0.01	0.01	0.02	0.02	0.02	0.03	0.04	0.04	0.06

Tabel 2 Rezultate de paralelizare pentru generatorul de task-uri.

Deși generatorul de task-uri nu a fost construit pentru probleme recursive, el poate fi configurat ca să ruleze ca un generator recursiv. Acest lucru poate fi obținut prin înlănțuirea a multiple rulări cu generatorul prezentat. Totuși, aceasta metoda implica un anumit nivel de control din partea CPU-ului.

2.3. Decupare Ierarhica pe GPU

Metodele de decupare de ultimă oră fie folosesc impostori geometrici fie nu sunt ierarhice sau sunt dependente de operații extrem de scumpe de sincronizare între CPU și GPU. Din cauza aceasta, exista potențialul de îmbunătățire a algoritmilor de decupare. Decuparea ierarhica pe GPU este o metoda recurentă de decupare la nivel de volum vizual, care rulează în întregime pe GPU, fără nici un fel de interferență de la CPU și fără calcule a-priori. Decuparea ierarhică pe GPU nu este limitată de impostori geometrici, dar poate beneficia de aceștia dacă sunt disponibili. Algoritmul este bazat pe generator-ul de task-uri prezentat anterior și introduce de asemenea conceptul de decupare pe cadre multiple, în care un obiect poate fi decupat pentru mai multe cadre în funcție de poziția sa relativa fata de camera.

Metoda de decupare scrie toți indecșii obiectelor vizibile într-un buffer, care este apoi desenat cu funcționalitatea de desenare indirectă, care este implementată în driverul plăcii video. Această metoda poate fi de asemenea implementată cu paralelism dinamic.

Metoda de decupare prezentata utilizează principiile introduse de generatorul de task-uri, generând task-uri pentru fiecare nod din scenă vizitat de parcurgerea arborelui de scenă. Algoritmul începe cu nodurile superioare ale arborelui și generează task-uri noi pentru copii fiecărui nod din arbore care sunt potențial vizibili. Nodurile vizibile au indexul adăugat la o listă de obiecte vizibile. Dacă un nod este decupat, atunci și toți copii săi sunt decupați și nu se mai generează task-uri pentru aceștia.

Algoritmul poate fi implementat cu paralelism dinamic, dacă acesta este disponibil. Un avantaj al acestui algoritm este că nu folosește operații de sincronizare și de aceea interacțiunea între CPU și GPU este minimală, CPU-ul fiind folosit doar pentru inițializarea algoritmului.

Decuparea pe cadre multiple este contribuția finala a algoritmului de decupare introdus. În marea majoritate a scenelor, când un obiect este decupat, el nu este decupat pentru un singur cadru ci pentru mai multe. După cum este prezentat în Figura 5, un obiect poate fi decupat pentru mai multe cadre printr-o analiză a vitezei de rotație maxime a camerei și a poziției obiectului. Dacă direcția camerei este descrisă ca un unghi solid și dacă se consideră că în aplicațiile în timp

real există limite pentru viteza maximă de rotație a camerei, atunci întreaga scenă poate fi partiționată pe zone. Fiecare zonă de partiție e bazată pe ideea că ea nu poate fi vizibilă pentru cameră decât în minim un număr de cadre, bazat pe viteza maximă de rotație a camerei. Dacă un obiect se află într-una din zone și este decupat, atunci el este decupat pentru minim numărul de cadre necesar camerei pentru a se învârti către zona respectivă.

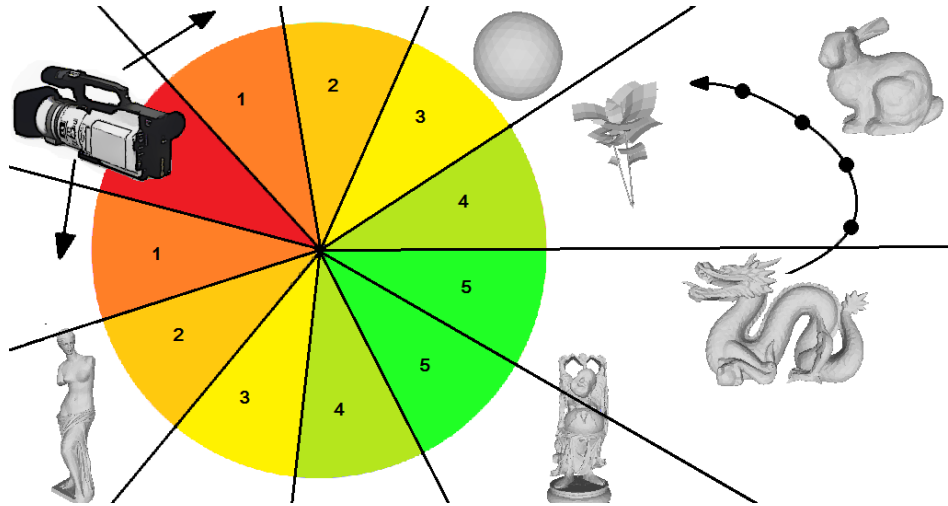


Figura 5 Decupare pe cadre multiple.

2.4. Rasterizare de Obiecte Opace

Singurii algoritmi de ultimă oră ce decuplează complet citirea de texturi și operațiile de determinare de vizibilitate sunt toți foarte scumpi din punctul de vedere al procesării, pentru că ei folosesc ori operații foarte scumpe de sincronizare la nivel de GPU pentru a menține un cache, sau reconstruiesc geometria la nivel de fragment. În următorul subcapitol este prezentat un nou algoritm, numit „Deferred Virtual” care decuplează citirea texturilor de operațiile de determinare de vizibilitate, dar care are costuri comparabile cu alți algoritmi „Deferred” cu o singură etapă de procesare de geometrie.

2.4.1. Deferred Virtual

O problemă comună a tuturor algoritmilor de ultimă oră este că ori decuplează colorarea de operațiile de determinare de vizibilitate și au mai multe etape de geometrie ori cuplează bandwidth-ul de colorare cu operațiile de determinare de vizibilitate și folosesc o singură etapă de geometrie. Nu există nici o tehnică „Deferred” care să decupleze operațiile de determinare de vizibilitate de bandwidth-ul de texturi și de colorare și care să aibă doar o singură etapă de geometrie. Această teză introduce „Deferred Virtual”, un nou algoritm „Deferred”, publicat în [Pet151], care este capabil să facă această decuplare într-o singură etapă de geometrie.

Algoritmul introdus este o combinație între metodele de date virtuale și algoritmi „Deferred”, folosind mecanismul de texturare virtuală pentru a ține în buffer-ul de geometrie doar informațiile critice din punct de vedere geometric, adică coordonatele de texturare și derivatele acestora. Astfel, algoritmul consumă bandwidth de textură doar atunci când acesta afectează procesul de redare, de exemplu pentru obiecte redare cu decupare alfa sau cu hărți de

deplasare. Făcând asta algoritmul „Deferred Virtual” garantează decuplarea completă între operațiile de determinare de vizibilitate, bandwidth-ul de colorare, bandwidth-ul de texturare, iluminare și colorare. „Deferred Virtual” oferă aceste proprietăți într-o singură etapă de geometrie, combinând astfel cele mai bune metrice pentru algoritmi deferred, definite în [Pet15].

„Deferred Virtual” este bazat pe ideea de a utiliza texturarea virtuală pentru a maximiza operațiile de amânare. În loc să stocheze valorile citite din texturi în buffer-ul de geometrie, numit „G-Buffer”, metoda prezentată stochează coordonatele de texturare și derivatele acestora. Astfel, în loc să se consume bandwidth de texturare pentru fiecare primitivă ocludată, „Deferred Virtual” salvează doar datele critic necesare procesului de redare. În funcție de configurația scenei redată, derivatele coordonatelor de texturare pot fi comprimate, așa cum este arătat în Figura 6.

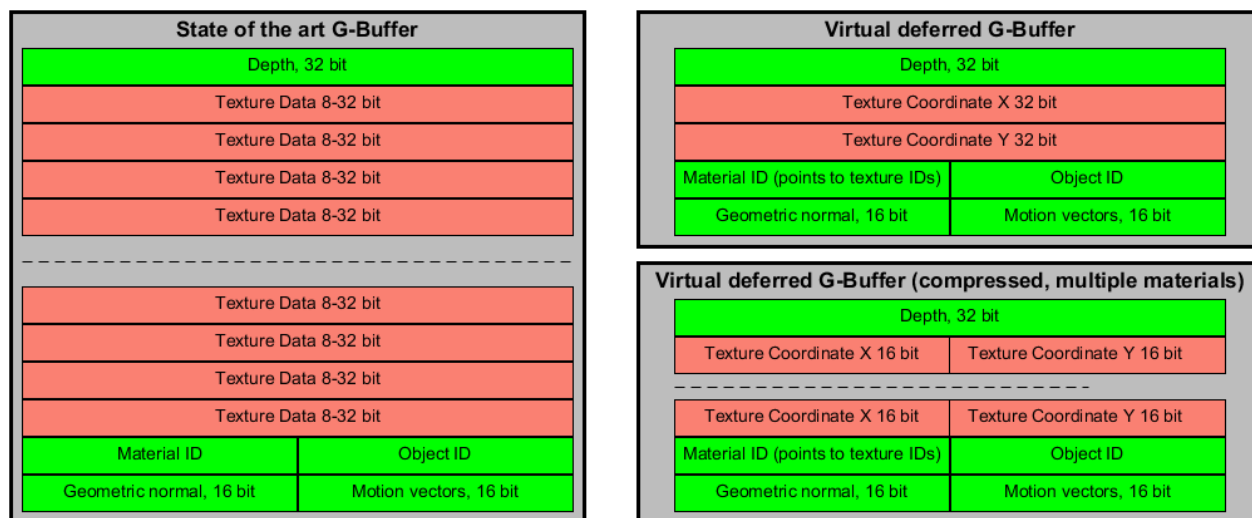


Figura 6 Buffer-ul de geometrie pentru algoritmul „Deferred Virtual”.

Etapă de iluminare de la „Deferred Virtual” este identică cu etapa de iluminare de la algoritmul de tip „Deferred” cu grid tridimensional, unde luminile sunt întâi stocate într-o structură de accelerare de tip grid 3D și apoi sunt intersectate cu „G-Buffer”. În etapa de colorare, în loc ca datele de texturare să fie încărcate din „G-Buffer”, „Deferred Virtual” încarcă doar coordonatele de texturare și derivatele lor și le folosește pentru a citi datele de texturare în textura virtuală. Deoarece „Deferred Virtual” e bazat pe texturare virtuală, este de asemenea foarte ușor de integrat într-un sistem de streaming bazat pe texturare virtuală.

Algoritmul „Deferred Virtual” poate fi combinat cu algoritmul de antialiasing sub geometric decuplat (DSRAA), un algoritm de antialiasing în stil de post procesare, prezentat în capitolul de Iluminare.

Etapă de iluminare de la „Deferred Virtual” e implementată ca un proces GPGPU, complet independentă de etapa de rasterizare. Colorarea se face folosind cache-ul fiecărui grup de fire de execuție GPGPU.

Din punct de vedere al complexității, „Deferred Virtual” scade complexitatea spațială de stocare și a bandwidth-ul de texturare, așa cum este arătat în Tabelul 3 și în Figura 7.

Algoritm\Criteriu	Redare „Deferred” cu o singura etapa de Geometrie	Redare „Deferred” cu mai multe etape de Geometrie	Redare „Deferred” Decuplata	Deferred Virtual
Procesare de Geometrie	1x	2x	1x	1x
Schimbări de Stare	1x	2x	1x	1x
Bandwidth Textura	T*TS*D	T*TS	T*TS	T*TS
Spațiu stocare pentru Geometrie	Informație Geometrică + T*TS	Informație Geometrică	Informație Geometrică + memoizare	Informație Geometrică + 2

Tabel 3 Algoritmul „Deferred Virtual” față de metodele de ultimă oră.

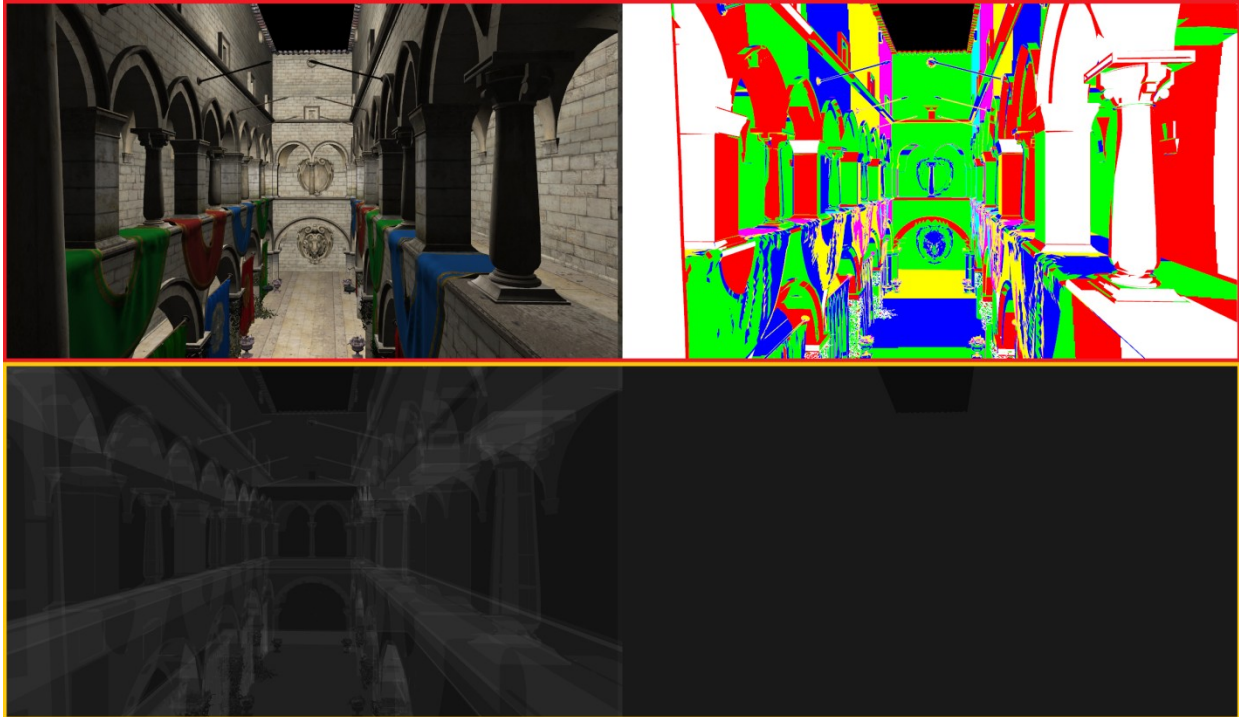


Figura 7 Rezultate algoritm „Deferred Virtual”.

Algoritmul „Deferred Virtual” poate rula în mod comprimat cu o optimizare în spațiu ecran, în care derivatele coordonatelor de textura nu sunt stocate, și sunt calculate prin reconstrucție, folosind diferențe finite și informațiile de culoare ale pixelilor vecini. Această optimizare scade și mai mult consumul de bandwidth și spațiu de stocare al algoritmului.

2.5. Rasterizare de Obiecte Transparente

Rasterizarea obiectelor transparente are similarități și deosebiri cu rasterizarea de obiecte opace. Procesarea de triunghiuri, metodele de suprafață și colorarea materialelor sunt ori identice ori foarte similare. De partea cealaltă, procesul de determinare de vizibilitate este diferit, determinat de lipsa de ordine a interacțiunilor suprafață-camera oferite de rasterizare.

Problema rasterizării obiectelor transparente este foarte dificilă pentru că este o problemă dependentă de ordine. Există două metode de abordare: exactă sau aproximativă cu operator de vizibilitate aproximat. Diferența între aceste metode și necesitatea pentru algoritmi exacti este prezentată în Figura 8.



Figura 8 Transparență Independentă de Ordine.

2.5.1. Transparența Independentă de Ordine Virtuală

Unul din cei mai de succes algoritmi de rasterizare de obiecte transparente este metoda „A-Buffer” implementată pe GPU, singurele detrimente ale acesteia fiind costurile foarte mari de stocare și bandwidth. Metoda „A-Buffer” poate fi transformată într-o metodă aproximativă, de calitate ridicată, prin folosirea de stocare stocastică, doar că în aceste cazuri metoda devine predispusă la artefacte temporale cauzate de diferitele aproximări. De aceea, în probleme în care precizia și interactivitatea sunt critice, precum vizualizarea științifică, algoritmul original produce rezultatele cele mai bune.

Teza introduce o variație a algoritmului „A-Buffer”. Algoritmul de Transparență Independentă de Ordine Virtuală (VOIT, sau VA-Buffer) scade costurile excesive de stocare și bandwidth-ul în comparație cu metoda „A-Buffer”. Metoda prezentată folosește aceleași principii de date virtuale care au fost aplicate și pentru „Deferred Virtual” în sub-capitolul precedent.

Metoda „A-Buffer” colorează toate fragmentele generate de rasterizare înainte de a stoca culoarea în lista de noduri pe care o ține per pixel. În comparație, VOIT decuplează calculele de colorare de construcția listei, de aceea VOIT se adaptează la situația de redare a fiecărui pixel, consumând doar strictul necesar. După ce lista per pixel este formată, algoritmul VOIT o sortează per-pixel, după care începe procesul de colorare, care se face de la camera în scena. Când VOIT determină că există suficientă ocluzie în canalul alfa, procesul de colorare ia sfârșit. Astfel, algoritmul VOIT colorează și consumă bandwidth de texturare în mod adaptiv, încercând și procesând date doar când acestea sunt garantate să aibă un impact vizual. În comparație „A-Buffer” încarcă și colorează toate fragmentele.

Din cauza aceasta de performanta dar și din cauza de decuplare, VOIT este un algoritm superior algoritmului „A-Buffer”. VOIT este prezentat vizual în Figura 9.

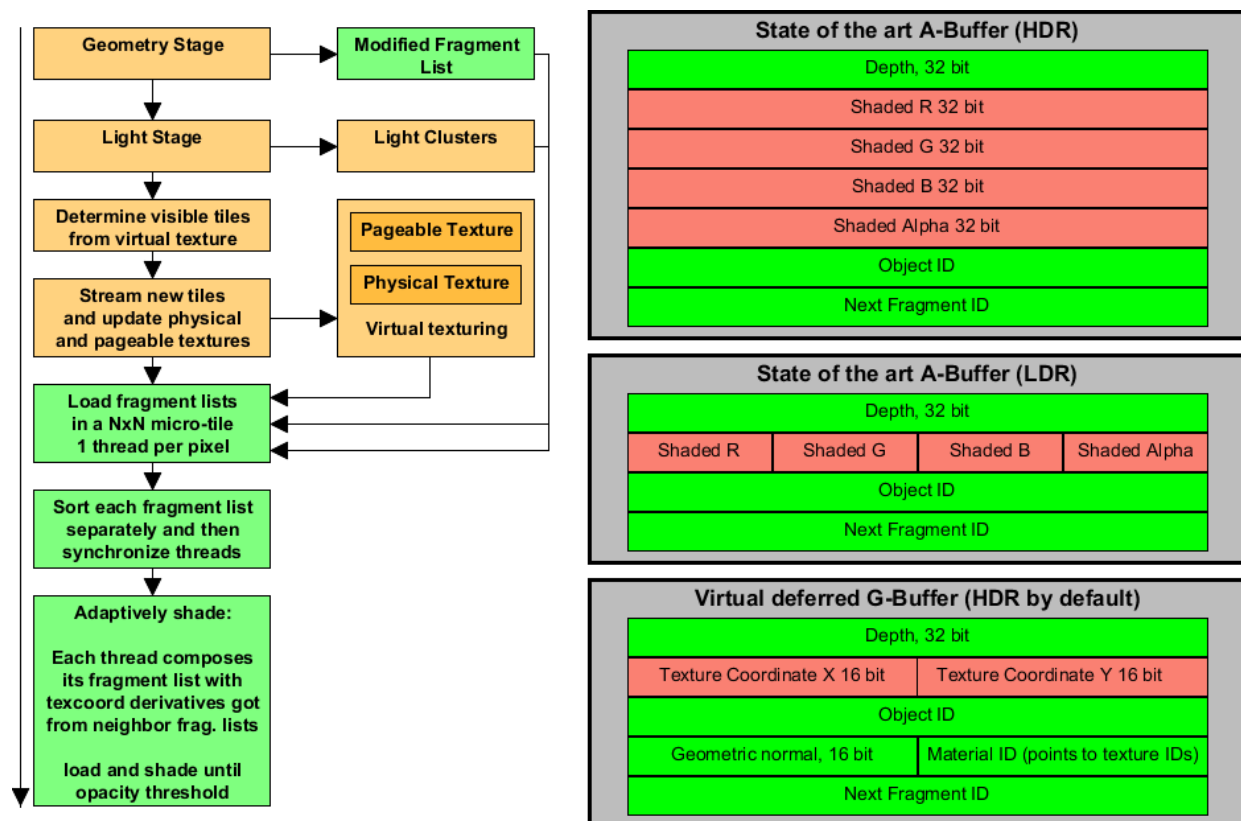


Figura 9 Transparență Independentă de Ordine Virtuala.

Algoritmul introdus funcționează în etape multiple, așa cum este descris în Figura 9. În prima etapa rasterizarea este folosită pentru a crea lista de fragmente per pixel. În comparație cu „A-Buffer”, VOIT nu stochează culorile fragmentelor ci coordonatele de texturare, în format comprimat. Din această cauză VOIT are performanțe mai bune de stocare, în special pentru problemele de redare ce necesită HDR. În următoarea etapă se execută operațiile de integrare cu sistemul de texturare virtuală. Pentru a nu parcurge toate listele pentru a determina texturile referențiate se folosesc două buffer-uri în care starea texturilor este încodată binar.

Etapă de colorare a algoritmului VOIT este similară cu cea din „Deferred Virtual”, pentru că se bazează pe reconstrucție de derivate de coordonate de textură, obținute prin informația de la coordonatele de textură ale vecinilor.

Figura 10 prezintă o comparație între algoritmul VOIT și algoritmul „A-Buffer”. Deși algoritmul „A-Buffer” are performanțe un pic mai bune de stocare, acestea sunt valabile doar pentru redarea în intervale joase (LDR) nu și pentru intervale înalte dinamice (HDR). Mai mult, bandwidth-ul folosit de VOIT este mai mic, iar complexitatea adaptivă a VOIT este net superioară celei a algoritmului „A-Buffer”.

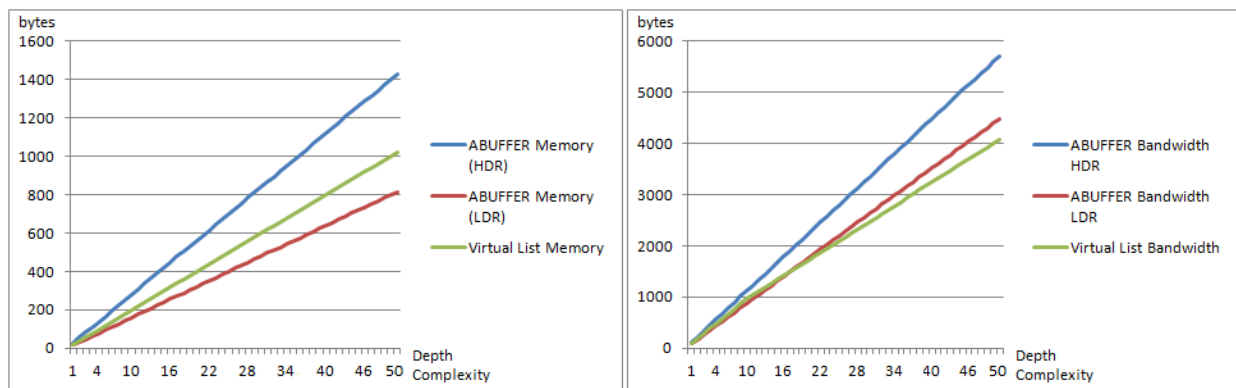


Figura 10 Transparență Independentă de Ordine Virtuala comparata cu metode de ultimă oră.

2.5.2. Hărți de Ocupare cu Distribuții

Metodele aproximative de ultimă oră pentru algoritmi de rasterizare de obiecte transparente nu sunt suficient de rapide pentru fi utilizate în timp real pe obiecte cu geometrie de frecvență înaltă. Aceste metode ori aproximează [Pet152] ori redefinesc operatorul de compoziție și sunt ori prea inexacte ori prea rigide pentru scenarii complexe de redare. În general aceste metode sunt folosite pentru a desena geometrie de frecvență joasa, cum sunt obiectele de tip fuzzy, pentru că algoritmi pot reda aceste obiecte cu rezultate vizuale acceptabile cu doar o mica parte din resursele folosite de algoritmi exacti.

În cazul hărților de ocupare se face presupunerea adițională ca opacitatea este de un alfa constant. Aceasta presupunere folosește la redefinirea operatorului de compoziție într-unul care este o funcție peste adâncime. Comparat cu operatorul exact, acest operator este comutativ. Aceasta presupunere poate fi folosită în redarea în timp real, unde sunt multe obiecte transparente ce necesită redare, dar calitatea redării poate fi mai puțin exactă. Aceste proprietăți de redare sunt comune obiectelor fuzzy, ca fumul, norii sau lichidele. Pe baza acestor presupuneri teza introduce o varianta îmbunătățită a algoritmului hărți de ocupare. Hărțile de ocupare distribuite sunt hărți de ocupare care folosesc distribuții per pixel. Distribuțiile fac hărțile de ocupare adaptive prin schimbarea punctelor de eșantionare. În loc de a eșantiona uniform întreg intervalul de adâncime, hărțile de ocupare distribuite eșantionează ne-uniform pe baza unor distribuții ce depind de distribuția obiectelor pe axa de adâncime. Distribuțiile folosite sunt uniformă, și gaussiană cu un singur sau mai mulți poli. Din cauza modificării eșantionării, hărțile de ocupare distribuite sunt adaptive, deci practic au o rezoluție crescută care se potrivește situației de la nivelul pixelului.

Hărțile de ocupare distribuite folosesc un buffer adițional, buffer-ul de distribuție, în care se menține ocuparea întregului interval de adâncime pe un număr foarte mic de biți, funcționând practic ca o hartă de ocupare de rezoluție foarte mica. Algoritmul stochează acest buffer adițional pentru cadrul curent cât și pentru cadrul precedent. Biții buffer-ului de distribuție sunt folosiți pentru a partiționa întreaga rezoluție a hărții de ocupare în mod adaptiv, în funcție de distribuția fragmentelor pe axa de adâncime a pixelului. Fiecare partiție a hărții de ocupare folosește diferite strategii de eșantionare. Strategiile de eșantionare sunt uniformă, uniformă cu poli multipli, Gaussiană, Gaussiană cu poli multipli, sigmoidă și sigmoidă cu poli multipli. Pentru un buffer de

distribuție de adâncime de opt biți toate modificările de eșantioane pot fi ținute într-o tabela de offset-uri, în memoria GPU. Hărțile de ocupare distribuite sunt prezentate în Figura 11.

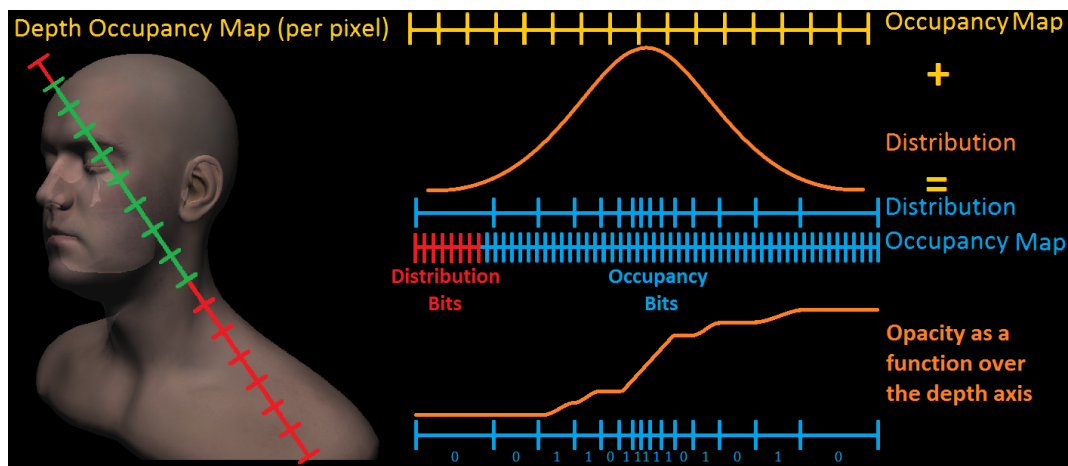


Figura 11 Hărți de ocupare distribuite.

Înainte de redare, algoritmul alocă patru buffer-e: doua buffere de distribuție de adâncime (unul pentru cadrul precedent și unul pentru cadrul curent), un buffer de ocupare și o harta de offset-uri. Bufferul de ocupare stochează ocuparea pe axa de adâncime a pixelului. Eșantioanele de ocupare sunt controlate de distribuția de adâncime de la cadrul precedent, prin offset-urile citite din harta de offset-uri.

Cele doua buffere de distribuție de adâncime stochează biții distribuției de adâncime pentru cadrul curent și precedent, pentru că algoritmul prezentat folosește una din cele doua distribuții de adâncime pentru a descrie cadrul curent dar folosește distribuția de adâncime de la cadrul precedent pentru a citi din harta de offset-uri. Valorile citite din harta de offset-uri sunt folosi pentru a modifica procesul de eșantionare.

Harta de offset-uri stochează offset-urile pentru punctele de eșantionare ale buffer-ului de ocupare, pentru fiecare dintre toate distribuțiile de adâncime reprezentabile în 8 biți. Harta de offset-uri este împărțită în zone, una pentru fiecare distribuție de adâncime posibilă. Fiecare zonă conține valorile necesare pentru modificarea procesului de eșantionare.

Algoritmul rulează în doua etape, etapa de geometrie și etapa de colorare și este un algoritm cuplat, care leagă procesul de colorare de determinarea de vizibilitate și de citirea texturilor.

În etapa de geometrie, geometria scenei este rasterizată normal, pentru a se obține adâncimile fragmentelor. Adâncimea fiecărui fragment e utilizată împreună cu distribuția de adâncime de la cadrul precedent pentru a seta biții din harta de ocupare cu metoda de eșantionare de la cadrul precedent. Distribuția de adâncime curentă este doar setată.

În etapa de colorare, geometria scenei este rasterizată normal, doar că de data aceasta este desenată cu un proces de amestecare aditiv. Culorile fiecărui fragment sunt calculate cu funcția de opacitate aproximată obținută în urma citirii hărții de ocupare de la etapa precedentă, folosind eșantionarea de la cadrul precedent.

2.6. Selecție de Geometrie cu Operații Atomice

În acest capitol o noua metoda pentru selecție este introdusa. Mai mulți algoritmi care rezolvă problema selecției există în contextul rasterizării hardware, dar fiecare dintre ei nu are în totalitate funcționalitățile oferite de soluția prezentată și toți au complexități mai slabe. Metoda introdusă este capabilă să selecteze corect nu doar primitive cât și orice tip de obiect care ar putea apărea pe ecran la nivel de fragment, ca de exemplu obiecte rezultate din instanțiere hardware, obiecte decupate cu alfa, obiecte teselate hardware, obiecte animate hardware și obiecte fuzzy. Tehnica propusă are consum de stocare și bandwidth optime și oferă oportunitatea de a selecta micro geometrie, nefiind limitată la prima interacțiune camera suprafață, oferind întreg setul de interacțiuni, daca este nevoie de așa ceva. Tehnica a fost publicata în [Pet13].

Tehnica propusă oferă alte oportunități unice cum ar fi selecție flexibilă de obiecte fuzzy și tine cont de acumularea de opacitate de la obiectele transparente, neselectând obiecte care sunt ocludate de alfa acumulat. Unele din cele mai interesante cazuri de selecție suportate de algoritmul introdus sunt arătate în Figura 12.

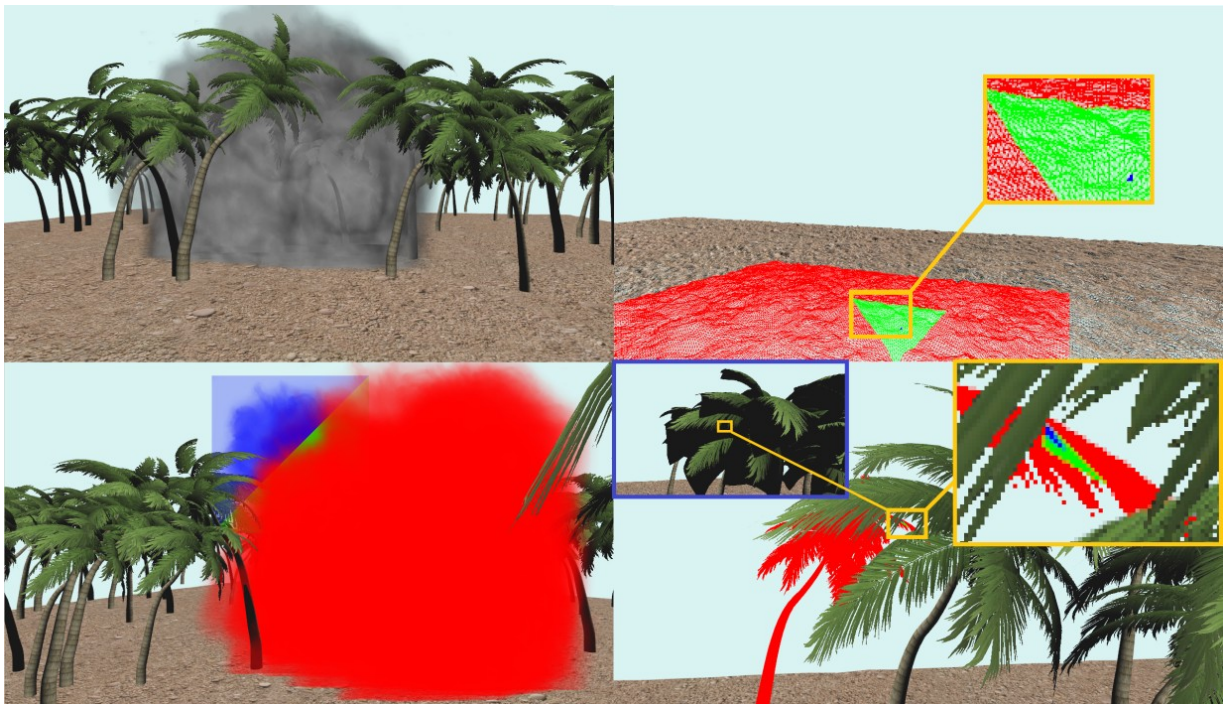


Figura 12 Selecție de Geometrie cu Operații Atomice – Cazuri dificile.

Contribuția principală a metodei de selecție prezentate este folosirea unui buffer sincronizat cu operații atomice, în care toate fragmentele care sunt rasterizate în zona de selecție sunt adăugate. Întreaga operație de salvare a punctelor de intersecție între camera și suprafață este efectuată la nivel de fragment, de aceea metoda prezentată are detecție exactă la nivel de pixel și poate selecta orice obiect desenabil, ca geometrie decupată cu alfa, obiecte fuzzy, sau micro geometrie generată cu teselare hardware, după cum este prezentat în Figura 12.

Comparat cu metodele de ultimă oră, tehnica prezentată nu alocă mai mult spațiu de stocare decât ceea ce este necesar și procesează doar punctele de intersecție relevante între suprafețe și cameră, fără a desena geometria scenei de mai multe ori.

Algoritmul prezentat funcționează pe o zonă de selecție, care poate fi ori un singur pixel sau un număr mare de pixeli într-o zonă dreptunghiulară. Algoritmul începe la nivelul vertex shader-ului și trimite mai departe indexul obiectului, indexul vârfului și indexul de instanță. Dacă geometria desenată are etape de teselare hardware algoritmul trimite mai departe în banda grafică un index unic obținut printr-o funcție hash peste coordonatele baricentrice de teselare. Acest index unic este folosit pentru a identifica geometria temporară, generată de teselatorul hardware. Astfel, algoritmul prezentat poate selecta și geometrie care nu este stocată permanent în memoria video. Metoda folosește un shader de geometrie pentru a determina indexul primitivei redată, care este și el trimis mai departe în banda grafică. Fragment shader-ul este ultimă etapă programabilă din banda grafică și colectează toate datele trimise de etapele precedente.

Dacă fragmentul se află într-o zonă de selecție, fragment shader-ul stochează punctul de intersecție, alături cu toate datele colectate de la etapele precedente. Punctele de intersecție sunt stocate într-un buffer, numit buffer de selecție, care este o listă înlănțuită per zonă de selecție. Accesul la această listă înlănțuită se face cu operații sincronizate atomic.

Dacă cel mai apropiat fragment stocat în lista înlănțuită este opac, atunci algoritmul se termină cu selecția acestui fragment. Dacă există fragmente transparente în zona de selecție, și dacă acestea se află în fața celui mai apropiat fragment opac, metoda de selecție se termină cu o etapă de compute shader, care sortează toate fragmentele pe axa de adâncime a pixelului și calculează acumularea de alfa, pentru a selecta doar obiectele ce au impact vizual.

Algoritmul de selecție este comparat cu metodele de ultimă oră în Tabelul 4. Se poate observa cum algoritmul prezentat combină toate proprietățile utile ale algoritmilor de ultimă oră și în același timp adaugă alte proprietăți utile cum ar fi selecția de micro primitive, selecția de obiecte fuzzy, ocluzia alfa și selecția pe zone.

Algoritm de Selecție	Proprietăți ale Algoritmilor de Selecție							
	Selecție Corectă	Capabil Ocluzie Alfa	Selecție în adâncime	Memorie 10 frag. la @1080p	Număr etape de geometrie	Instantiere Hardware	Teselare Hardware	Selecție Fuzzy
Intersecție cu Ray Casting	Nu	Nu	Da	Nu se aplica	Nu se aplica	Nu	Nu	Nu
Intersecție cu Buffer de Adâncime	Da	Nu	Nu	66.35 mb	1	Da	Nu	Nu
Micro-Raster	Da	Nu	Da	320 b	2	Da	Nu	Nu
Selecție de Culoare	Da	Nu	Nu	49.76 mb	1	Da	Nu	Nu
Selecție atomica	Da	Nu	Nu	320 b	1	Da	Nu	Nu
Transform feedback	Nu	Nu	Da	320 b	1	Da	Da	Nu
AGS (acest algoritm)	Da	Da	Da	320 b	1	Da	Da	Da

Table 4 Comparatie între algoritmi de selecție.

3. ILUMINARE

Acest capitol descrie a doua parte a benzii de redare propuse, care conține algoritmi pentru iluminare globală și colorare. Modulele și algoritmi prezentați în acest capitol sunt ilustrați succint în Figura 13. Modulele colorate cu verde sunt contribuții personale.

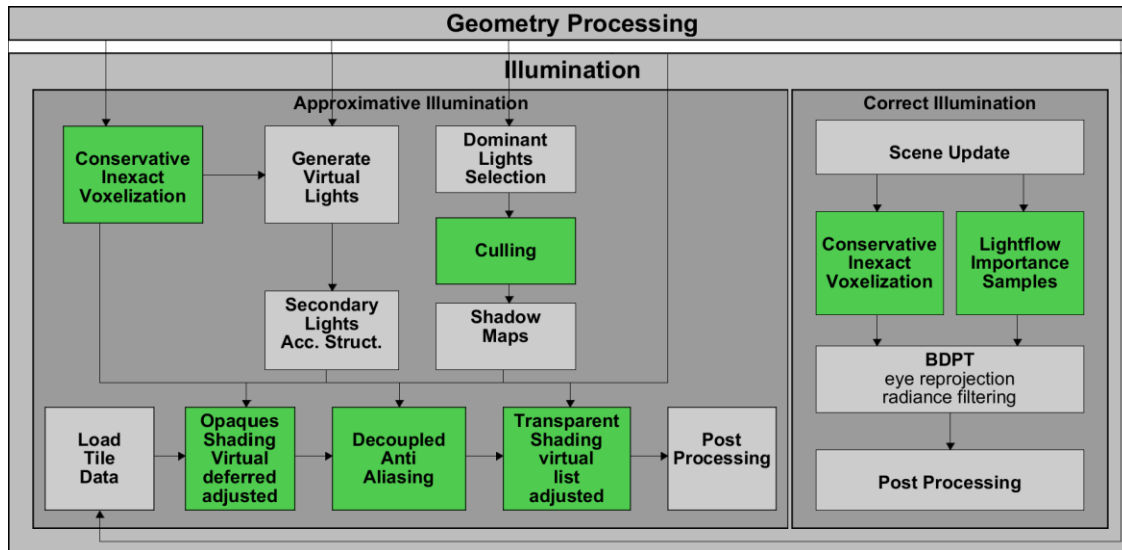


Figura 13 Modulele de Iluminare.

Acest capitol este împărțit în două mari sub-capitole, care oferă soluții pentru problema iluminării globale din perspective diferite: primul sub-capitol prezintă o soluție aproximativă care rulează în timp real și a al doilea prezintă o soluție corectă ce rulează parțial în mod interactiv. Cu excepția algoritmului de mapare de umbre, care este folosit în sub-capitolul de iluminare aproximativă, întreaga bandă de iluminare este independentă de rasterizare, fiind un proces complet GPGPU.

Subcapitolul de iluminare aproximativă oferă o soluție iluminării globale din perspectiva timpului real, folosind operatori de vizibilitate aproximați pentru a propaga lumina prin scenă. Modulele subcapitolului folosesc rezultatele obținute în capitolul de procesare de geometrie, cum ar fi buffer-ul de geometrie virtuală și listele per pixel de la transparenta independentă de ordine. Procesul de iluminare e decuplat în mai mulți algoritmi și căi de redare, fiecare dintre ele lucrând un anumite tipuri de propagări de lumină. Deși rezultatele vizuale sunt plăcute și apropiate de fotorealism, sub-capitolul de iluminare aproximativă nu poate simula toate tipurile de transporturi de lumina, mai ales transporturile pe căi cu multe interacțiuni cu un nivel de ridicat de specularitate.

Modulele din iluminarea aproximativă estimează contribuția potențială de la luminile scenei și selectează un număr redus dintre acestea, care sunt considerate lumini dominante, pentru care se calculează hărți de umbră. Pentru restul luminilor, considerate lumini secundare, se utilizează o structura inovativă, numită voxelizare inexactă conservativă.

Modulele din iluminarea corectă calculează exact transportul de lumina, utilizând operatori de vizibilitate exacti și simulând în detaliu interacțiunile cu suprafețele.

3.1. Iluminare Aproximativă

Iluminarea aproximativă este o problemă de redare bazată pe percepție, care încearcă să creeze imagini aproape fotorealiste fără nici un fel de preprocesare. Iluminarea aproximativă folosește diferiți operatori de vizibilitate aproximativi pentru transportul indirect de lumină difuză și pentru transportul indirect de lumină speculară. În același timp folosește operatori exacti pentru transportul direct de lumină, maximizând eficiența și corectitudinea luminii care este cel mai ușor de perceput. Cea mai mare problemă a benzii de redare cu iluminare aproximativă este transportul de lumină pe căile speculare. Aceasta este o problemă comună pentru redarea în timp real, pentru că operatorii de vizibilitate exacti nu pot fi implementați decât cu raze, path-uri sau fotoni, care reprezintă soluții mult prea scumpe din punct de vedere computațional pentru a fi implementate în timp real.

Soluția de redare propusă combină rasterizarea implementată pentru hărțile de umbre folosite pentru determinarea vizibilității la luminile dominante cu soluțiile bazate pe multe lumini care sunt implementate pentru luminile secundare. Soluțiile pe multe lumini folosesc operatori de vizibilitate aproximativi pe o structură de accelerare creată per cadru, în care se efectuează algoritmul „Ray Tracing”. Structura de accelerare folosită e implementată ca o voxelizare inexactă conservativă (CIV), care este creată din înfășurători convexe ale obiectelor în loc de înfășurături convexe ale primitivelor obiectelor, și este din acest motiv extrem de rapidă de construit. Soluția de multe lumini se bazează pe un algoritm de drumuri aleatoare înăuntru structurii CIV, în care la fiecare contact între drumul aleator și datele din CIV se creează noi lumini, numite lumini virtuale. Transportul de lumină specular se efectuează cu algoritmul „Cone Tracing” în spațiu ecran, care are cazurile de eșec augmentate cu „Ray Tracing” în structura CIV.

Banda de redare aproximativă propusă calculează întâi transportul de lumină pentru luminile dominante cu hărți de umbră de ultimă oră. Apoi, construiește structura CIV peste obiectele scenei. Luminile secundare sunt folosite pentru a genera căile aleatoare prin CIV, care sunt folosite pentru a genera mii de lumini virtuale.

3.1.1. Transport de Lumină pentru Lumini Dominante

Luminile dominante sunt rezolvate cu hărți de umbră pentru că operatorii de vizibilitate implementați prin rasterizare sunt de calitate cea mai înaltă care poate fi folosită pentru redarea în timp real. Deși razele pot fi de asemenea folosite pentru operatorii de determinare de vizibilitate, aceasta sunt semnificativ mai încete. Pentru a implementa „Ray Tracing” de calitate în timp real este nevoie de o structură de accelerare coerentă, similară cu cea folosită în „Cone Tracing” peste reprezentări volumetrice rare, dar costurile de calcul pentru o asemenea metodă sunt foarte ridicate, iar metoda este complet dependentă de preprocesare. Mai mult, metoda este extrem de scumpă pentru scene dinamice, deoarece părți sau chiar întreaga structură de accelerare trebuie reconstruită la fiecare cadru. Din aceste motive hărțile de umbră sunt metoda cu cel mai bun raport dintre performanță și cost.

Banda de redare prezentată folosește hărți de umbră în cascadă peste care se execută „Ray Tracing”. Hărțile de umbră sunt filtrate într-o etapă la nivel de ecran, cu o dimensiune de kernel ajustabilă, în funcție de distanța la ocludator. Soluția prezentată desenează scena din punctul de vedere al luminii și în loc să stocheze adâncime stochează indicii primitivelor ce sunt

rasterizate în maparea de umbre standard. În etapa următoare, de redare, primitivele din vecinătatea pixelului colorat sunt încărcate, se calculează intersecțiile între razele de la camera la primitive și se obțin diferite valori de umbră, care sunt apoi filtrate în vecinătatea pixelului. Acest proces permite generarea de umbre de calitate foarte ridicată, cu un număr de eşantioane foarte scăzut. Deși aceasta metoda poate suferi de aliasing, acesta poate fi scăzut prin folosirea nivelurile de detaliu pentru geometrie și a impostorilor ierarhici.

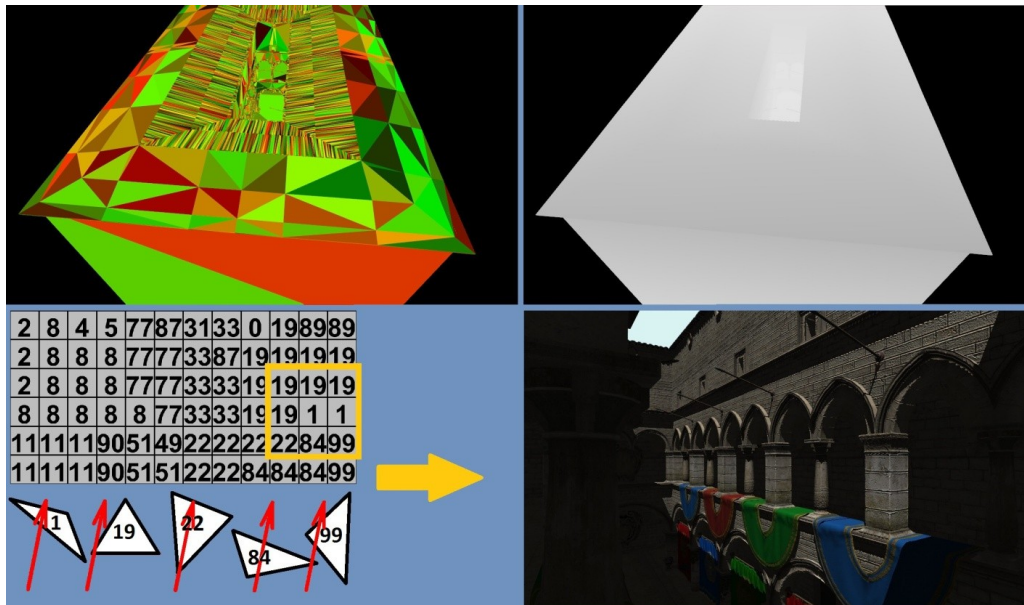


Figura 14 Hați de umbră cu „Ray Tracing”.

3.1.2. Voxelizare Inexactă Conservativă

Din cauza obiectelor dinamice din scene, voxelizarea scenelor trebuie să fie calculată la fiecare cadru, și din această cauză complexitatea de construcție trebuie să fie foarte scăzută. Problema cu metodele de voxelizare existente este ca nu există nici una cu o complexitate suficient de scăzută, dar care să ofere o reprezentare pentru întreaga scenă. Din acest motiv, toate metodele de voxelizare cu informații despre toata scena sunt metode interactive, fiind mult prea scumpe pentru a fi folosite în redarea în timp real pe scene masive.

În această teză este prezentat un nou algoritm de voxelizare, care diferă de metodele de ultimă oră în mai multe moduri : este o reprezentare inexactă dar conservativă a scenei și are o complexitate de construcție foarte scăzută. Aceasta metodă, numita voxelizare inexactă conservativă (CIV), este construită pentru a fi folosită în metodele cu multe lumini, așa cum este prezentat în sub-capitolul următor, unde aceasta reprezentare inexactă a geometriei scenei este folosită pentru transportul global de lumina difuză. Acolo CIV este folosit pentru a relaxa costul operatorului de determinare de vizibilitate, și astfel accelerează întreg transportul de lumina obținut prin generarea a mii de lumini virtuale.

Comparat cu metodele de ultimă oră, CIV pornește cu o altă perspectivă asupra procesului de voxelizare, lucrând de sus în jos. Aceasta alegere, de a voxeliza direct obiecte și nu geometria acestora, conferă viteza algoritmului, pentru că garantează o complexitate de

construcție foarte scăzută, $O(nr\ obiecte)$, în comparație cu metodele de ultimă oră care lucrează în complexitate de $O(nr\ primitive)$, sau chiar $O(nr\ vertecsi)$. Metoda prezentată utilizează de asemenea toate datele deja existente ce sunt găsite în mod uzual în redarea în timp real cu metode „Deferred”, proiectând toate datele din bufferul de geometrie în structura de accelerare și garantând astfel un operator exact de transport de lumină în interiorul volumului vizual.

Astfel, ideea principală a CIV este de a crea o reprezentare volumetrică ierarhică exactă în interiorul volumului vizual și inexactă în afara acestuia.

Intrările în structura de date se fac într-o textură tridimensională. Algoritmul parcurge arborele scenei și determină ce obiecte sau noduri de scena trebuie voxelizate. Obiectele care au fost decupate în afara volumului vizual sunt extinse pe axele cubului încadrator, care e salvat ca o singură intrare în textură ce conține reprezentarea volumetrică a scenei. Astfel pentru întreg cubul încadrator este nevoie de o singură operație de scriere, efectuată la cel mai jos nivel aplicabil din structura ierarhică. Pentru obiectele elongate pe una din axe se aplică un proces de diviziune pe axa în cauză, rezultând un set de cuburi, pentru care se aplică metoda normală. Această etapă este urmată de reproiecția geometriei stocate în buffer-ul de geometrie creat de algoritmul „Deferred” folosit la etapa de procesare de geometrie.

Un proces tridimensional al algoritmului „Push-Pull” este folosit pentru a transfera informația stocată în structura de date ierarhică. Algoritmul „Push-Pull” folosește informație de la toate nivelurile ierarhice pentru a oferi cunoștințe aproximative asupra spațiilor în care nu există informație geometrică, pe baza informației stocate la alte niveluri de detaliu ale texturii CIV. Algoritmul CIV este prezentat vizual în Figura 15.

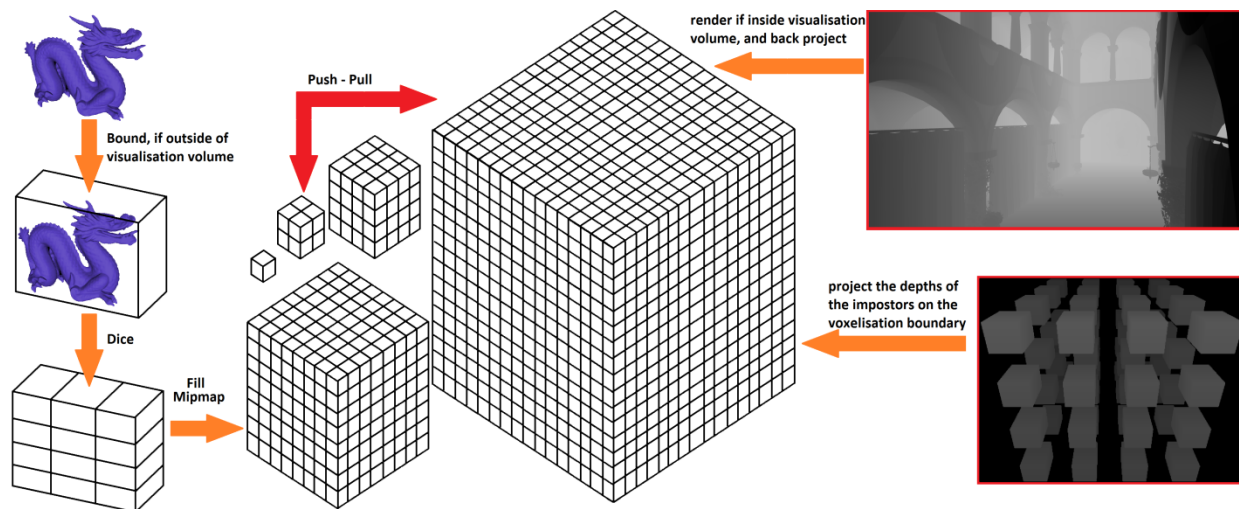


Figura 15 Voxelizare Inexactă Conservativă.

Structura CIV este apoi folosită ca un operator de vizibilitate pentru un proces de „Ray Tracing”.

Structura de accelerare prezentată consumă memorie în funcție de strategia de redare utilizată, putând să stocheze informații adiționale despre normale sau natura materialului geometriei approximate. O comparație cu metodele de ultimă oră de voxelizare e prezentată în Tabelul 5.

Algoritm de Redare \ Criteriu de comparație	Toata scena	Conservativ	Complexitate	Suport pt. Ray Tracing	Suport Împrăștiere
Reconstrucție de Nori de Puncte	da	nu	O(vârfuri)	nu	nu
Înfășurătoare Convexa cu Nori de Puncte	da	da	O(vârfuri)	nu	nu
Hărți de Umbră Imperfect Voxelizate	da	da	O(lumini* vârfuri)	nu	parțial
Voxelizare în Spațiul Ecranului	nu	da	O(primitive)	parțial	parțial
Volume Imperfecte	da	nu	O(primitive)	da	da
Octree rari	da	da	O(primitive)	da	da
Voxelizare Inexacta Conservativa (acest algoritm)	da	da	O(objecte)	da	da

Tabel 5 CIV față de celelalte structuri de voxelizare.

O proprietate cheie a structurii de date introduse este aceea că oferă un operator de vizibilitate variabil pentru „Ray Tracing”, care se adaptează în funcție de camera. Operatorul de vizibilitate este exact în interiorul volumului de vizualizare și inexact în afara acestuia. Acest lucru este prezentat în Figura 16. Aceasta proprietate este foarte utilă pentru transportul de lumină aproximativ, pentru că se adaptează la zonele perceptual importante ale scenei și poate fi folosită atât pentru lumina de frecvență joasă cât și de frecvență înaltă.

$$L(x_1 \rightarrow x_0) = L_e(x_1 \rightarrow x_0) + \int_A f_r(x_2 \rightarrow x_0) G(x_1, x_2) V(x_1, x_2) L(x_2 \rightarrow x_1) dA(x_2)$$

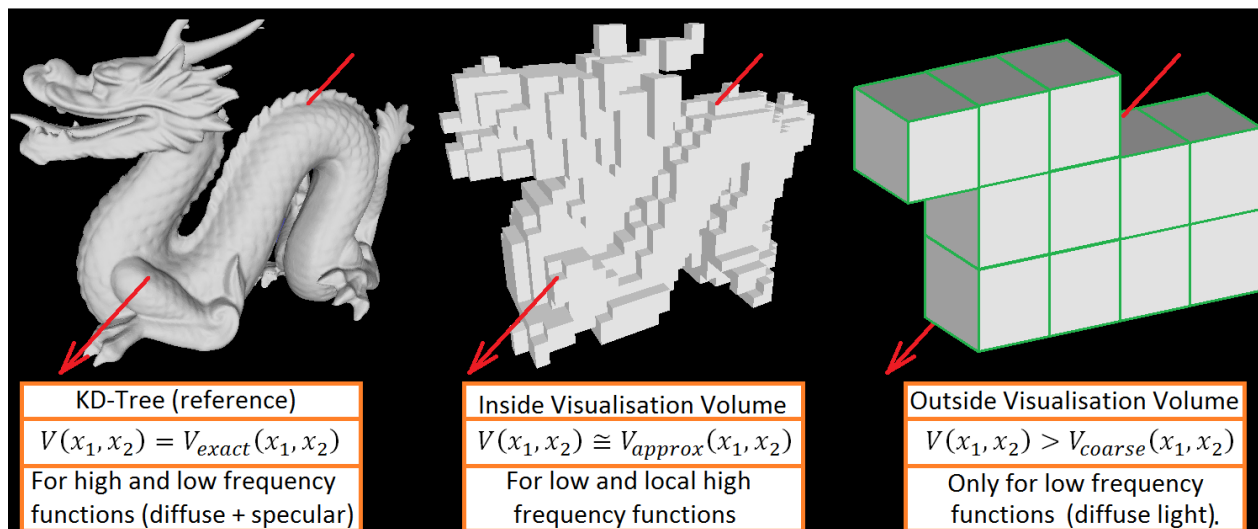


Figura 16 Operator de Determinare de Vizibilitate variabil cu Voxelizare Inexacta Conservativa.

Metoda de voxelizare prezentată nu oferă vizibilitate exactă dar oferă o aproximare conservativă a acesteia. Aceasta structură de accelerare este folosită în sub-capitolul următor într-o variantă modificată a algoritmului „Instant Radiosity”. Structura de accelerare prezentată este de asemenea utilizată pentru a augmenta rezultatele algoritmului „Cone Tracing” în spațiu ecran.

3.1.3. Transport de Lumină pentru Lumini Secundare

Acest capitol folosește o soluție de transport de lumină decuplată, utilizând diferiți algoritmi pentru transportul de lumina de frecvență înaltă și frecvență joasă. Pentru transport de lumină de frecvență joasă (difuză) se utilizează o metoda nouă, bazată pe algoritmul „Instant Radiosity” modificat. Pentru transportul de lumină de frecvență înalta se utilizează „Cone Tracing” în spațiu ecran, cu cazurile de eșec augmentate cu structura de date prezentată la 3.1.2. Rezultatele celor doi algoritmi sunt apoi combinate, pentru a obține transportul de lumină total.

3.1.3.1. Transport de Lumină de Frecvență Joasă

Metodele de iluminare bazate pe multe lumini au fost introduse cu algoritmul „Instant Radiosity”, ce folosește drumuri aleatoare înăuntrul scenei pentru a transfera cantități mari de lumină în putini pași. De fiecare dată când drumurile aleatoare prin scenă intra în contact cu suprafețe ale obiectelor, se generează noi lumini, numite lumini virtuale. Din cauza naturii recursive a drumurilor prin scenă, algoritmul „Instant Radiosity” are nevoie de operații de vizibilitate recursive și nu poate fi implementat eficient pentru un număr mare de lumini cu rasterizare.

Varianta algoritmului utilizata în acest sub-capitol pentru transportul de lumina de frecvență joasă folosește raze pentru a determina vizibilitatea între doua suprafețe. Această decizie face ca „Instant Radiosity” să fie dificil de implementat fără o structură de accelerație care să crească rata de eșantionare a scenelor dificile, în care multe drumuri aleatoare sunt necesare pentru a transporta lumina.

În metoda prezentată, drumurile aleatoare sunt implementate folosind „Ray Tracing” peste o reprezentare aproximativă a scenei, oferită de voxelizarea conservativă inexactă prezentată în sub-capitolul precedent. Din cauza acestei decizii, ecuația de redare este modificată, utilizând acum un nou operator de vizibilitate în locul operatorului exact original. Operatorul de vizibilitate introdus este atât coerent din punct de vedere al accesului la memorie cât și conservativ, și este în același timp adaptiv din punct de vedere al percepției scenei. Operatorul este prezentat în Figura 16. Toate aceste proprietăți fac acest operator ideal pentru transportul de lumina necesar în generarea rapidă de lumini virtuale pentru iluminare globala. Operatorul este folosit în drumurile aleatoare ce generează luminile virtuale, așa cum este arătat în Figura 17, cât și pentru „Ray Tracing”, necesar în determinarea factorului de umbră.

Procesul de drum aleator generează lumini virtuale. Un număr mic de eșantioane este generat pentru fiecare lumină din scenă. Fiecare eșantion urmează un proces de „Ray Tracing”, similar cu etapa de „Light Tracing” de la algoritmul de „Ray Tracing Bidirecțional” sau „Path Tracing Bidirecțional”. Strategii de mutație a path-ului rezultat pot fi folosite. Fiecare vârf al path-ului este tratat ca un o lumină virtuală punctiformă (VPL) potențială. În funcție de structura de stocare CIV, variația prezentată de „Instant Radiosity” poate sau nu să calculeze transferul de culoare indirect. Nu toate VPL-urile generate sunt salvate, criteriul de rejecție pentru VPL-uri este bazat pe eșantionare de importanță. Eșantionarea de importanță tine cont de poziția VPL-ului relativ la volumul vizual și rejectează toate VPL-urile care nici nu sunt poziționate în volumul vizual și nici nu sunt vecine în path cu un alt VPL care să fie poziționat în volumul vizual.

Procesul de generare de VPL-uri este prezentat în Figura 17.

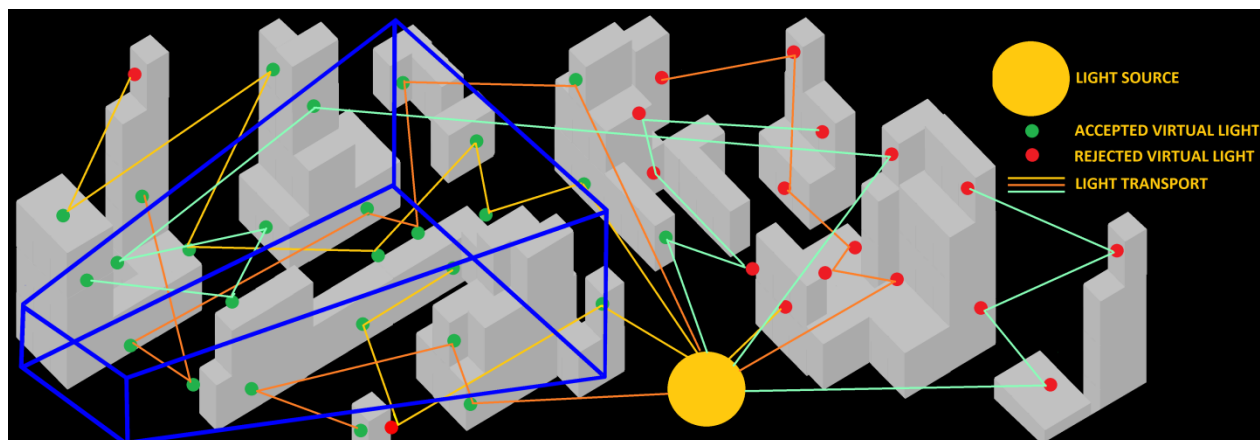


Figura 17 Generare de lumini virtuale.

Toate luminile secundare, luminile virtuale și luminile scenei sunt stocate într-o structură de accelerare de tip grid tridimensional, numita cluster. Redarea cu toate aceste lumini se executa într-un proces de iluminare identic cu cel din algoritmul „Deferred Clustered”, unde luminile din structura de accelerare sunt intersectate cu buffer-ul de geometrie creat de algoritmul de tip „Deferred” utilizat. Fiecare contact potențial între o lumină de orice tip și o suprafață stocată în buffer-ul de geometrie este analizat. Pentru luminile dominante se folosesc hărțile de umbră create anterior. Pentru toate celelalte lumini se utilizează structura CIV ca suport de operator de vizibilitate, în care sunt trasate raze de determinare de umbră. Tot procesul este ilustrat în Figura 18.

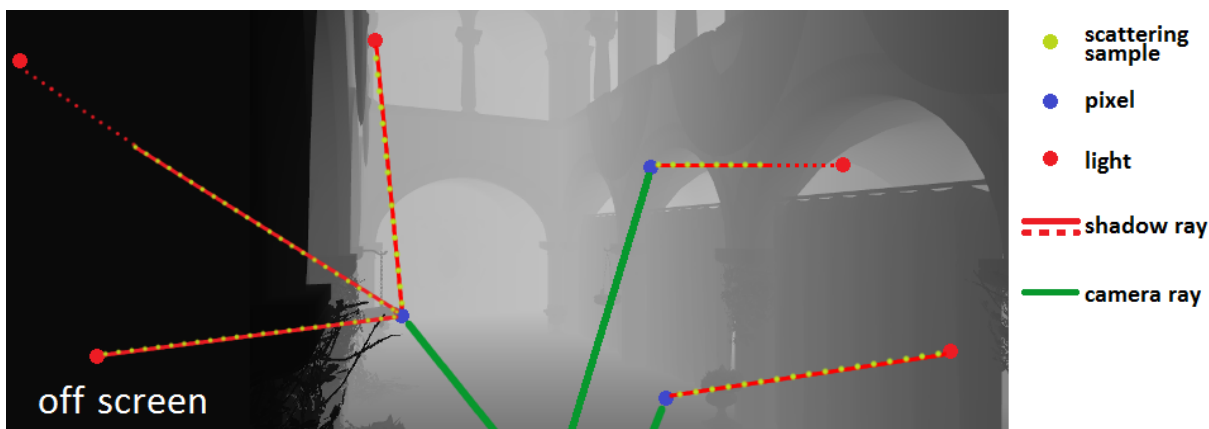


Figura 18 Iluminare și Vizibilitate pentru lumini secundare.

Iluminarea cu lumini virtuale nu este lipsita de artefacte, deoarece artefactele apar ca zone de acumulare de lumina, în contrast cu artefactele din algoritmul „Path Tracing”, care apar ca zgomot. Artefactele din iluminarea cu lumini virtuale pot fi observate în Figura 19. O soluție pentru această problemă este limitarea energiei luminilor virtuale de la un anumit grad de proximitate și filtrarea iluminării în spațiul ecran, similar cu algoritmul SSPCSS. Figura 19 prezintă diferite aspecte din iluminarea cu și fără artefacte folosind lumini virtuale generate cu metoda de „Instant Radiosity” modificată, așa cum a fost prezentată în acest capitol.

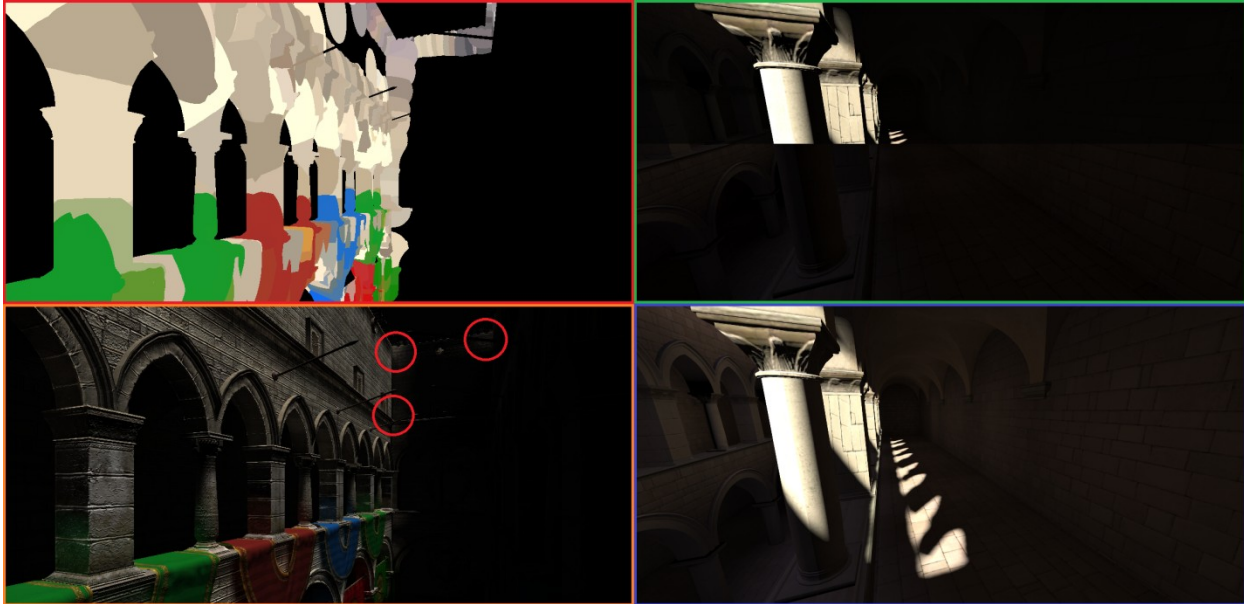


Figura 19 Rezultate iluminare cu lumini virtuale.

3.1.3.2. Transport de Lumină de Frecvență Înaltă

Transportul de lumină de înaltă frecvență este o problemă dificilă pentru redarea în timp real în scene dinamice, și din această cauză este rezolvată în mod decuplat în această teză, deoarece metodele cu multe lumini nu sunt potrivite pentru transportul luminii specular.

Deși transportul de lumina speculară de înaltă calitate este posibil în timp real în scene statice cu multa pre procesare, algoritmul care oferă aceasta funcționalitate, „Cone Tracing” pe reprezentare volumetrică rară, are nevoie de o reprezentare volumetrica foarte detaliată, pentru a funcționa pe scene complexe. Din cauza aceasta, reprezentarea ocupă foarte multa memorie pe GPU și mult mai important, trebuie reconstruită la fiecare cadru pentru scenele cu obiecte dinamice. Din această cauză algoritmul este doar interactiv pentru transportul de lumină speculară în scene masive generale și de aceea aceasta teza folosește proiecția algoritmului în spațiul ecran, numită „Cone Tracing” în spațiu ecran. Acest algoritm este executat după ce lumina difuză este propagată cu metoda prezentată ulterior.

„Cone Tracing” în spațiu ecran generează unul sau mai multe eșantioane per pixel, care trasează conuri peste ecran, folosind informația din buffer-ul de geometrie creat de algoritmul de de tip „Deferred” folosit în capitolul de procesare de geometrie. Direcția conurilor reflectate este obținută prin reflectarea conurilor actuale cu suprafețele intersectate. Unghiul conurilor variază în funcție de tipul de material intersectat. Dimensiunea conurilor este dată de distanța deja trasată de fiecare eșantion. Pentru a minimiza numărul de citiri din texturile ce mențin informația ecranului, acestora li se construiesc niveluri de detaliu, din care se citește în funcție de mărimea conului.

Algoritmul „Cone Tracing” în spațiu ecran are multe cazuri de eșec, datorate următoarelor cauze: lipsa de informație cauzată de suprapunere de suprafețe în proiecția geometriei pe ecran, trasare în afara spațiului ecranului sau trasare prin spațiul din spatele

informației stocate pe ecran. Structura de accelerare CIV poate fi folosită pentru a augmenta algoritmul „Cone Tracing” pe cazurile sale de eșec.

3.1.4. Colorare de Obiecte Opace

Acest subcapitol discută operațiile de colorare de obiecte opace, în care luminile scenei și luminile virtuale generate și stocate în structura de accelerare de tip grid sunt folosite pentru a colora obiectele opace reprezentate în buffer-ul de geometrie obținut cu algoritmul „Deferred Virtual”.

Această metodă începe prin a încărca buffer-ul de geometrie produs de „Deferred Virtual” în mai multe țigle de lucru, una pentru fiecare grup de fire de execuție GPGPU. Acest lucru este făcut pentru a determina proprietățile de bază ale obiectelor vizibile.

După încărcarea datelor din buffer-ul de geometrie, algoritmul are doua variante de rulare, în funcție de existența derivatelor coordonatelor de textură în buffer-ul de geometrie. Varianta algoritmului cu un consum mai mare de bandwidth stochează derivatele coordonatelor de textură per pixel, iar varianta mai intensiva din punct de vedere computațional reconstruiește derivatele coordonatelor de textură. Deoarece derivatele coordonatelor de textură sunt critice procesului de texturare, acestea trebuie neapărat obținute într-un mod sau altul.

Varianta mai intensivă computațional include operațiile variantei mai intensive din punct de vedere al bandwidth-ului, și va fi varianta prezentată. Varianta începe cu un proces de reconstrucție al derivatelor de coordonate de texturare, care calculează diferențe finite ale coordonatelor de textură pentru fiecare pixel. Acest lucru se face prin citirea coordonatelor de texturare dintr-o anumită vecinătate, cu atenție de a nu include în proces coordonate de texturare ce provin de la obiecte care au alt index decât cel al pixelului în cauza. Astfel derivatele de coordonate de textură sunt reconstruite în același mod în care au fost inițial generate în banda grafică, prin diferențe finite la nivel de fragment. Algoritmul folosește derivatele coordonatelor de textură pentru a determina nivelurile de detaliu ale texturii ce sunt necesare pentru a efectua citirea din textură.

După ce texturile au fost citite și rezultatele au fost stocate într-un cache la nivelul grupului de fire de execuție GPGPU, algoritmul calculează iluminarea. Mai întâi determină nivelul de iluminare dobândit de la luminile dominante, folosind operatorul de determinare de vizibilitate oferit de hărțile de umbră. Pentru luminile secundare ale scenei și pentru luminile virtuale se folosește operatorul de vizibilitate oferit de structura de voxelizare inexactă conservativă (CIV). Astfel, pentru fiecare potențială interacțiune între o suprafața și o lumină secundară se trasează o rază prin CIV care determină contribuția luminii.

După această etapă se calculează contribuția de iluminare provenita din transportul de lumină specular. Aceasta este o etapă opțională și poate fi nefolosită dacă nu există potențialul de transport specular în scenă. Această etapă este calculată în spațiu ecran, bazat pe rezultatele de colorare obținute de la prima etapă de colorare cu lumina directă. Iluminarea indirectă speculară este calculată cu algoritmul „Cone Tracing” în spațiu ecran, ce folosește structura CIV pentru a ameliora artefactele rezultate din multe cazuri de eșec ale algoritmului.

3.1.5. Antialiasing Sub Pixel Decuplat

Aceasta teza prezintă o îmbunătățire pentru metodele hibride de antialiasing, care decuplează complet bandwidth-ul de colorare de operațiile de determinare de vizibilitate, totul din punctul de vedere al procesului de antialiasing. Metoda prezentată, antialiasing sub pixel decuplat, colorează o singura dată per pixel și folosește rezultatele colorate pentru a reconstrui o mulțime de eșantioane de determinare de vizibilitate ce lucrează la nivel sub pixel. Algoritmul apoi folosește eșantioanele reconstruite într-un proces de filtrare. Metoda prezentată este o îmbunătățire peste algoritmul de ultimă oră SRAA, din cauză că etapa de reconstrucție este bazată pe un proces mai exact de mapare a eșantioanelor la vecini, și nu este doar un simplu filtru bilateral.

Antialiasing sub pixel decuplat (DSRAA) poate fi ușor de utilizat cu orice alt algoritm de tip „Deferred”. Metoda prezentată are două etape. În prima etapă, numită etapă de eșantionare, algoritmul este integrat în banda de redare cu „Deferred Virtual”, pe care o modifica puțin pentru a genera mai multe eșantioane de determinare de vizibilitate per pixel. Astfel, algoritmul „Deferred” modificat salvează toate datele per pixel o singură dată în afara de determinarea de vizibilitate care este salvată la o rată semnificativ mai mare, deci algoritmul are doar o creștere mică în spațiu de stocare și bandwidth consumat față de un algoritm „Deferred Virtual” normal.

În cea de doua etapa, numită etapa de reconstrucție, algoritmul ia toate eșantioanele de vizibilitate necolorate și încearcă să le mapeze întâi la eșantionul colorat al pixelului și apoi la eșantioanele colorate ale pixelilor vecini. Maparea se face ținând cont de index-ul materialului și de direcția normalei. Dacă un eșantion nu poate fi mapat la nici un vecin colorat, atunci este mapat la fundal. În final, toate eșantioanele sunt colorate prin mapare și culoarea finală a pixelului este obținută printr-o medie ponderată.

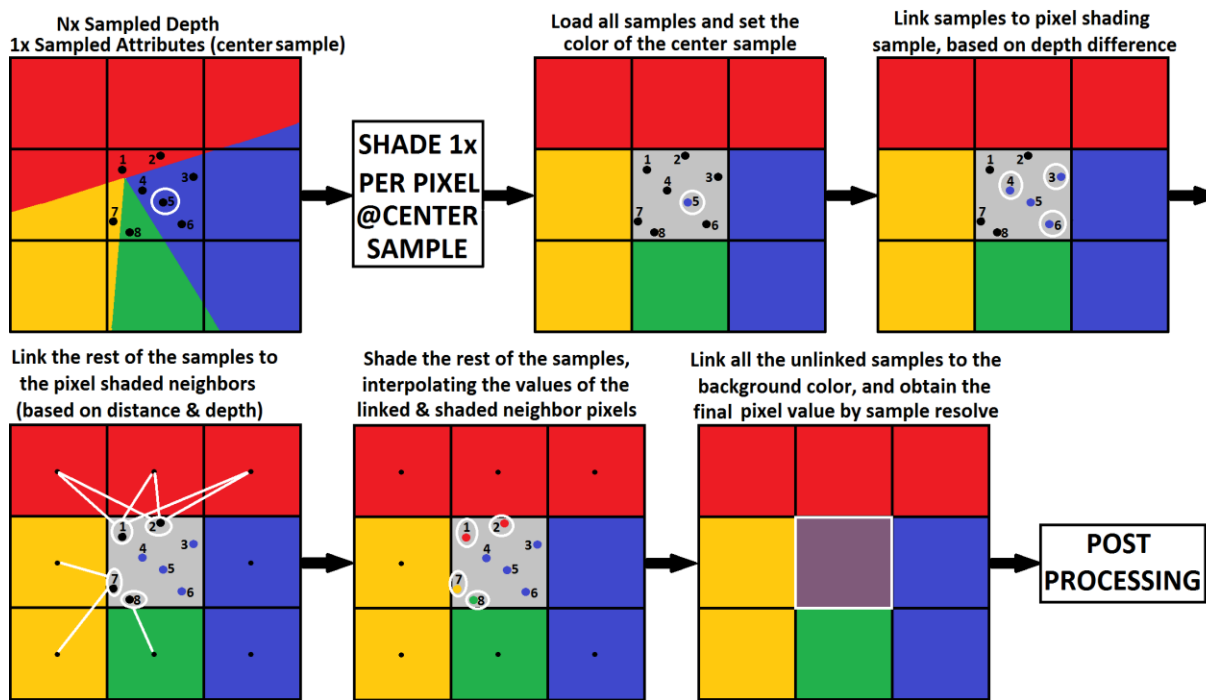


Figura 20 Antialiasing reconstruit sub geometric decuplat.

O comparație a algoritmului introdus cu metodele de ultimă oră de antialiasing este oferita în Tabelul 6. În Tabel se poate observa cum algoritmul introdus, DSRAA, combina marea majoritate a celor mai utile proprietăți ale algoritmilor de antialiasing pentru metode de tip „Deferred”.

Algoritm\Cantitate per pixel	Eșantion Adâncime	Eșantion Acoperire	Date Geometrie	Date Colorare	Spațiu stocare	Bandwidth
Fără Antialiasing	1	0	1	1	1	1
Multisampling Antialiasing (MSAA)	+++	+++	1	1	+	+
Coverage Sampling (CSAA/EQAA)	+++	+++++	1	1	+	+
Supersampling Antialiasing (SSAA)	+++++	0	+++++	+++++	+++++	+++++
Deferred MSAA	+++++	0	+++++	+++++	+++++	+++++
Fast Approximate Antialiasing (FXAA)	1	0	1	1	1	+
Morphological Antialiasing (MLAA)	1	0	1	1	1	+
Subpixel Morphological Antialiasing (SMAA)	+	0	+	+	+	+++
Directionally Localized Antialiasing (DLAA)	1	0	1	1	1	+
Geometry Buffer Antialiasing (GBAA)	1	0	+++++	1	+	+
Distance to Edge Antialiasing (DEAA)	1	0	+++	1	+	+
Phone Wire Antialiasing (PWAA)	1	0	+++	1	+	+
Temporal Antialiasing (TXAA)	1	0	1	1	+++	+++
Aggregate G-Buffer Antialiasing (AGAA)	1	+	1	1	1	+
Surface Based Antialiasing (SBAA)	+++	+++	+++	1	+++	+++
Subpixel Reconstruction Antialiasing (SRAA)	+++	0	1/+++	1	+/+++	+/+++
Resampling Antialiasing (RSAA)	+++	+++	+++	1	+	+
Decoupled Subpixel Reconstructed Antialiasing (DSRAA) – acest algoritm	+++	0	1/+++	1	+/+++	+/+++

Tabel 6 DSRAA și algoritmii de antialiasing de ultimă oră pentru metode „Deferred”.

În comparație cu algoritmul de ultimă oră SRAA, metoda prezentată are o etapă de reconstrucție superioară, în care sunt create mapări exacte între eșantioanele de determinare de vizibilitate și eșantioanele din vecinătatea pixelului care sunt colorate, adică eșantioanele generate de algoritmul „Virtual Deferred”. Din cauza aceasta în loc să se procedeze ca în algoritmul SRAA, unde fiecare eșantion de determinare de vizibilitate este aproximat cu un filtru bilateral, algoritmul prezentat utilizează procesul de mapare prezentat ce aproximează mult mai exact valoarea fiecărui eșantion necolorat. De aceea, metoda prezentată produce rezultate de o calitate mai bună, foarte apropiate de antialiasing-ul care ar fi obținut dacă s-ar folosi un număr mare de eșantioane colorate per pixel (MSAA).



Figura 21 Rezultate antialiasing reconstruit sub geometric decuplat.

3.1.6. Colorare de Obiecte Transparente

Acest subcapitol discută operațiile de colorare ale obiectelor transparente. Acest subcapitol prezintă algoritmul de colorare al metodei de transparentă independentă de ordine. Metoda colorează în stilul algoritmului original „A-Buffer”, doar că este adaptivă din punct de vedere al costului de procesare și din punct de vedere al bandwidth-ului consumat.

Daca derivatele coordonatelor de texturare nu sunt stocate în lista modificată de fragmente per pixel atunci acestea trebuie reconstruite. Algoritmul prezentat încarcă lista de fragmente în micro țigle, care sunt similare cu țiglele folosite de „Deferred Virtual”, doar că sunt mult mai mici, din cauza limitărilor în spațiul de stocare local unui grup de fire de execuție pe GPU.

Micro țiglele folosite sunt limitate la dimensiunea de 2x2 pixeli, care este dimensiunea minimă necesară pentru reconstrucția derivatelor coordonatelor de texturare. După ce fragmentele sunt încărcate în micro țigle, ele sunt sortate pe axa de adâncime a pixelului. Astfel fiecare pixel din țigla își sortează propria lista și apoi, unul din pixeli sortează lista parțial sortată.

Aceasta operație de sortare per-pixel și per-țigla poate fi implementată cu algoritmi de tip „Merge Sort” sau „Quick Sort”, sau cu orice alt algoritm de sortare atât timp cât sortarea este făcută fără alocări de memorie. Fiecare pixel parcurge apoi lista sortată și lucrează doar cu fragmentele ce au fost rasterizate peste el. Pentru fiecare fragment procesat se citesc vecinii săi din lista și, în cazul în care vecinii sunt din același obiect, se calculează diferențele finite necesare determinării derivatelor coordonatelor de texturare.

În cazul în care derivatele coordonatelor de texturare sunt stocate atunci algoritmul de transparentă independentă de ordine virtuala prezentat nu are nevoie să le reconstruiască. Algoritmul doar încarcă fragmentele fiecărui pixel fără a folosi țigle, și sortează fragmentele încărcate.

După ce derivatele coordonatelor de texturare sunt obținute într-un mod sau altul, algoritmul parcurge listele sortate, la nivel per pixel. Parcurgerea este făcută din față în spate, încărcând datele de texturare și efectuând operațiile de colorare pentru fiecare nod nou. Algoritmul este adaptiv pentru că nu încarcă date de texturare și nu procesează operații de colorare decât pentru fragmentele ce au un impact vizual garantat. O imagine redată cu algoritmul prezentat este ilustrată în Figura 22.

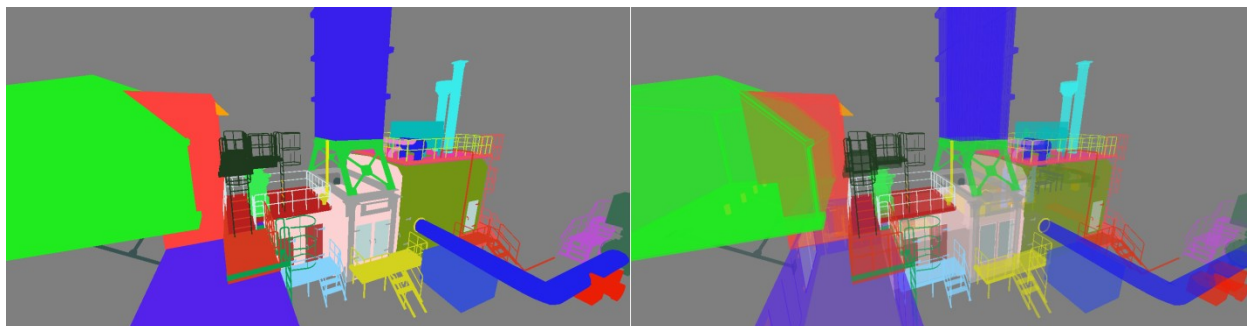


Figura 22 Colorare de Obiecte Transparente.

3.2. Iluminare Corectă

Modulul de iluminare corectă este un modul de redare interactiv, care conține și prezintă algoritmi pentru care hardware-ul curent este prea puțin puternic pentru rulări în timp real. Cu toate acestea, algoritmi prezentați în acest modul sunt din ce în ce mai relevanți pentru domeniul redării în timp real.

Modulul de iluminare corectă folosește structuri de accelerare pentru „Ray Tracing”, pentru a scădea complexitatea trasării de raze prin scenă, operație ce domina timpul de redare pentru algoritmi folosiți în iluminarea globală corectă. Transportul de lumina este efectuat într-un mod corect, în limitările redării fotorealiste pe calculator. Algoritmi prezentați în acest modul pot rula atât pe CPU cât și pe GPU.

În acest modul imaginile sunt redade cu un algoritm de tip „Path Tracing Bidirecțional” modificat care trasează raze cu o complexitate amortizată. Algoritmul folosește o metodă inedită de eșantionare de importanță, numită „Light Flux” (LFIS), care aproximează fluxul transportului de lumină în scenă și folosește această aproximare pentru a ghida path-urile neproductive către vârfuri din path-uri de lumină. Comparat cu metodele de ultimă oră, LFIS este mai rapidă și stochează semnificativ mai puțină memorie. Algoritmul „Path Tracing Bidirecțional” folosește atât metoda inedită introdusă cât și alte metode de accelerare de ultimă oră.

3.2.1. Determinare de Vizibilitate Amortizată

Conceptul de vizibilitate amortizată este bazat pe ideea de a combina două structuri de accelerare pentru intersecție de suprafețe cu raze: una exactă, bazată pe structura „Bounding Interval Hierarchy” și altă inexactă, bazată pe un grid tridimensional. Se efectuează trasare de raze în structura exactă doar atunci când este dovedit că raza este un potențial contributor de către structura aproximativă. Razele aproximative nu pot determina niciodată exact dacă are loc o intersecție între ele și suprafețe, dar pot aproxima potențialul acestei intersecții.

De aceea metoda de aproximare de vizibilitate nu poate fi folosită pentru a crea noi grupuri de segmente în path-uri, pentru că aceasta operație poate fi efectuată doar analitic corect. Totuși, vizibilitatea amortizată poate fi folosită pentru determinarea potențialului de legare între diverse segmente de path deja existente, operație care trebuie executată de foarte multe ori în algoritmul „Path Tracing-ul Bidirecțional”, când rezultatele etapelor de „Light Tracing” și „Camera Tracing” sunt legate.

În cazul în care o raza aproximativă arată un potențial ridicat de intersecție între rază și suprafață atunci raza este intersectată cu structura de accelerație exactă. Intersecția cu structura de accelerație exactă nu pleacă de la zero, ci pleacă de la un interval definit de raza aproximativă care este folosit în partiționarea razei de intersecție pentru a minimiza spațiul de căutare exact. De aceea, în timpul traversării structurii de accelerație exacte nu toate segmentele razei de intersecție sunt intersectate cu nodurile structurii „Bounding Interval Hierarchy”.

Deși razele productive suferă astfel de o creștere în complexitate, cum marea majoritate a razelor nu sunt productive și sunt terminate rapid prin intersecție cu structura aproximativă, costul de intersecție per rază este amortizat.

3.2.2. Eșantionare de Importanță Light Flux

Problema principală a algoritmilor bazați pe trasare de raze nu este neapărat complexitatea de trasare a razelor cât numărul foarte mare de raze trasate, independent de soluția aleasă de algoritmul de redare. De aceea, marea majoritate a cercetării este bazată pe reducerea numărului de raze cu metode de eșantionare avansate numite eșantionare de importanță. Eșantionarea de importanță generează raze de determinare de vizibilitate ce au o probabilitate mult mai mare de a explora spațiu productiv, relevant pentru interacțiunile între suprafețele și luminile scenei.

Eșantionarea de importanță de tip „Light Flux” (LFIS), este un nou algoritm de eșantionare de importanță, prezentat în aceasta teză și este construit astfel încât să fie folosit cu algoritmul de redare „Path Tracing Bidirecțional”. Ideea este inspirată din hărțile de flux, folosite pentru fluide. LFIS folosește o hartă foarte similară ca și concept cu hărțile de flux pentru fluide, doar că această hartă descrie fluxul de lumină în scenă. Această hartă poate fi citită pentru a determina rapid sursa de lumină cea mai relevantă pentru fiecare punct din scenă. Sursa de lumină poate fi orice lumină din scenă, cât și vârful din path-urile construite la etapa de „Light Tracing” din cadrul algoritmului „Path Tracing Bidirecțional”.

Harta „Light Flux” este implementată ca un grid tridimensional. Este populată prin generarea unui număr de eșantioane pentru fiecare lumină și generarea de path-uri de lumină pentru aceste eșantioane. Path-urile de lumina sunt apoi voxelizate în interiorul grid-ului tridimensional din harta „Light Flux”. Fiecare intrare din grid peste care path-ul de lumină este voxelizat salvează o referință la lumină sau vârful din path-ul de lumină care a catalizat intrarea în grid. Dacă o intrare este deja populată, se utilizează un proces de determinare a celui mai important contribuitor de lumină, pe baza radiantei stocate în grid și radiantei provenite de la sursa de lumină nouă. Harta „Light Flux” conține astfel informație parțială despre transportul de lumină din scenă. Se folosește un proces „Push-Pull” tridimensional, similar cu cel folosit în Voxelizarea Conservativă Inexactă în capitolul 3.1.2, cu care este populată întreaga hartă, care garantează că fiecare intrare din harta „Light Flux” referențiază o sursă de lumină. Pentru intrările approximate din harta „Light Flux” se utilizează o mască, care setează un bit special.

Astfel, harta „Light Flux” permite eșantionare de importanță prin faptul că este capabilă să lege orice vârf creat în etapa de „Camera Tracing” a algoritmului de „Path Tracing Bidirecțional” cu o sursă de lumină. Astfel, harta „Light Flux” poate fi folosită pentru a construi legături rapide între path-uri de explorare a scenei din perspectiva camerei ce nu au găsit o sursă de lumină după un număr relativ mare de iterații.

În etapa de „Light Tracing” a algoritmului de „Path Tracing Bidirecțional”, harta de „Light Flux” este actualizată. Intrările care au bitul special de aproximare setat sunt actualizate în cazul în care vârful creat de path-urile construite la această etapă ajung să fie generate în spațiul mapat către intrarea aproximată din hartă. În acest mod, harta originală aproximată converge relativ rapid la o hartă exactă a transportului de lumină în scenă. Din acest motiv, „Light Flux” permite conexiuni rapide între etapele algoritmului „Path Tracing Bidirecțional”, făcându-l mai eficient și astfel mai apropiat de performanțele necesare pentru execuția în timp real.

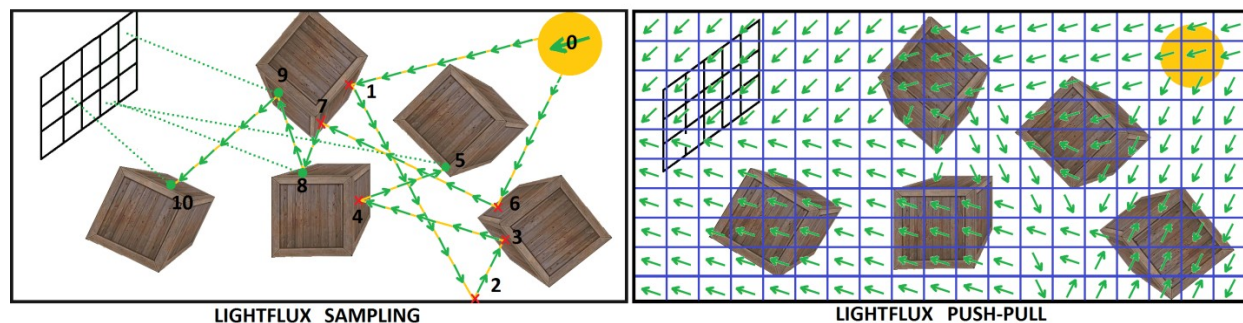


Figura 23 Eșantionare de Importanță Light Llux.

Eșantionarea de Importanță cu „Light Flux” este prezentată pe scurt în Figura 23, unde în stânga sunt prezentate puținele eșantioane necesare pentru construcția hărții, iar în dreapta este prezentat procesul de tip „Push – Pull” tridimensional, în urma căruia rezultatele obținute cu puține eșantioane sunt interpolate pentru a oferi o aproximare a transportului de lumină la nivel global al scenei.

Metoda de Eșantionare de Importanță &	Rezultate bune cu eșantion slab	Complexitate	Spațiu Stocare	Necesita Mutații pe Vârfuri	Explorare de path-uri speculative	Cunoștințe explicite asupra luminilor
Eșantionare adaptivă	Slabe	Mică	Putină	Nu	Nu	nu
Eșantionare BSDF	Nu	Mică	Deloc	Nu	Da	N
Iluminare Directă	Nu	Mică	Deloc	Nu	Nu	Da
Eșantionare de Importanță re-Eșantionata	Nu	Mică	Putină	Nu	Nu	Nu
Eșantionare volumetrica	Nu	Medie	Deloc	Nu	Nu	Nu
Re-proiecție la camera	Nu	Mică	Deloc	Nu	Nu	Nu
Filtrare de Radianță	Nu	Mică	Medie	Nu	Nu	Nu
Reconstrucție de câmp de lumină temporală	Nu	Ridicată	Medie	Da	Nu	Nu
Transport de lumină Metropolis	Medii	Ridicată	Ridicată	Da	Medie	Nu
Transport de lumină Metropolis în spațiu primar	Ridicate	Ridicată	Ridicată	Da	Medie	Nu
Redistribuire de energie	Ridicate	Medie	Ridicată	Da	Medie	Nu
Explorare de Manifold	Medii	Ridicată	Ridicată	Da	F. Bună	Nu
Metropolis în domeniu gradient	Ridicate	Ridicată	Ridicată	Da	Bună	Nu
Metropolis multiplexat	Ridicate	Ridicată	Ridicată	Da	F. Bună	Nu
Legare de conexiuni de vârfuri	Ridicate	Ridicată	Ridicată	Nu	Bună	Nu
Regularizare în spațiu path	Ridicate	Ridicată	Ridicată	Nu	Bună	Nu
Bidirecțional	Slabe	Medie	Ridicată	Nu	Nu	Da
Skeleton	Medii	Slabă	Medie	Nu	Nu	Nu
Light Flux - acest algoritim	Ridicate	Slabă	Medie	Nu	Nu	Da

Tabel 7 Strategii de eșantionare pentru algoritmul „Path Tracing”.

Algoritmul „Light Flux” de eșantionare de importanță este comparat cu alți algoritmi de eșantionare de importanță de ultimă oră în Tabelul 7. În tabel se poate observa cu „Light Flux” are rezultate bune cu eșantioane slabe în condițiile în care nu necesita un număr ridicat de operații sau un spațiu de stocare ridicat. Mai mult, „Light Flux” nu produce mutații la nivel de path și este singurul algoritim de eșantionare de importanță global care oferă informații directe asupra iluminării. Celalalt algoritim de eșantionare de importanță globală oferă informații indirecte, prin faptul că speculează prezenta luminii prin absenta geometriei.

3.2.3. Path Tracing Bidirecțional

Algoritmul „Path Tracing Bidirecțional” (BDPT) este o variantă a algoritmului „Path Tracing” care oferă cele mai bune rezultate fără a utiliza mutații pe path-urile create. Din această cauză este una dintre cele mai bune variante pentru transportul fotorealistic de lumină pe arhitecturile de tip „many core”, cum sunt GPU-urile. Algoritmul BDPT rulează în două etape: etapa de „Light Tracing” și etapa de „Camera Tracing”. În etapa de „Light Tracing” fiecare lumină din scenă este eșantionată, și pentru fiecare eșantion generat se creează un path construit din vârfuri, obținute la contactul dintre transportul de lumină și suprafețele scenei. Același proces se aplică pentru etapa de „Camera Tracing”. BDPT este integrabil cu algoritmi de tip „Deferred”. Path-urile generate în cele două etape sunt apoi legate, creând transport continuu de la lumini la cameră. Conexiunea între cele două etape este de obicei făcută cu o structură de tip hash ierarhic peste un grid spațial.

Algoritmul BDPT poate utiliza metoda de eșantionare de importanță prezentată în subcapitolul anterior. Așa cum este arătat în Figura 23, procesul de construcție al hărții „Light Flux” poate fi folosit pentru a aproxima cea mai productivă direcție de eșantionare pentru fiecare lumină a scenei. Acesta direcție este folosită în algoritmul BDPT cu „Light Flux”, astfel implementându-se eșantionare de importanță pe eșantionarea luminilor. Banda de redare pentru iluminare corectă prezentată mai folosește eșantionare de importanță pentru funcțiile de distribuție de împrăștiere bidirecționale (BSDF), care sunt eșantionate la fiecare contact între lumină și o suprafață a scenei. În plus, BDPT-ul din teză folosește eșantionare adaptivă, reproiecție către cameră, filtrare de radiantă și metoda de ruletă rusească pentru terminarea path-urilor. Algoritmul „Path Tracing Bidirecțional cu Light Flux” este prezentat pe scurt în Figura 24.

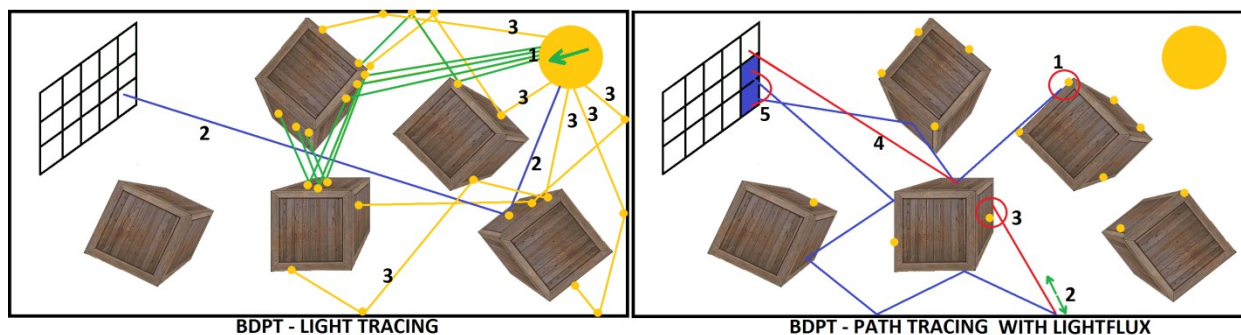


Figura 24 Path Tracing Bidirecțional cu eșantionare de importanță Light Flux.

BDPT-ul prezentat poate folosi două strategii pentru a eșantiona din harta „Light Flux”. Prima strategie este de a umple harta aproximată „Light Flux” cu intrări în vecinătatea vârfurilor de lumină generate în etapa de „Camera Tracing”. A doua strategie, mai exactă dar mai scumpă, este de a utiliza harta inițială aproximativă și a ii aduce eșantioane adiționale, în timpul procesului de „Light Tracing”. Acest lucru duce la convergența rapidă a hărții. Etapa de „Camera Tracing” din BDPT eșantionează scena ca algoritmul „Path Tracing” normal, dar în același timp încearcă să conecteze path-urile generate la această etapă cu path-urile generate la etapa de „Light Tracing” prin utilizarea hărții „Light Flux” pentru a găsi rapid vârfuri ce aparțin de path-urile create la etapa de „Light Tracing”. Diferențele de rulare cu și fără „Light Flux” sunt prezentate în Figura 25. Se poate observa cu algoritmul BDPT are o convergență superioară dacă este augmentat cu harta „Light Flux”, în special în scene cu transfer dificil de lumină.

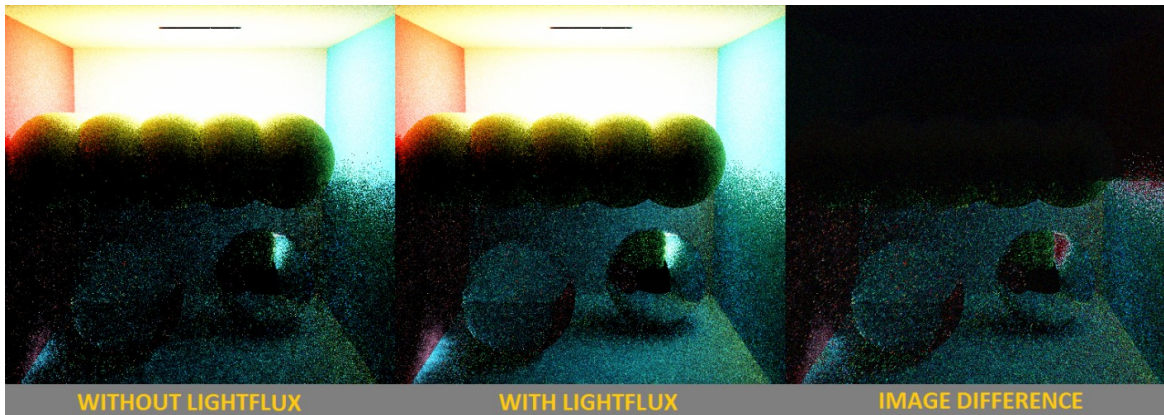


Figura 25 Rezultate BDPT interactiv cu eşantionare de importanță Light Flux.

4. CONCLUZII

Această teză a introdus o bandă de redare modulară, bazată pe mai mulți algoritmi inediți, care funcționează în timp real sau interactiv. Algoritmii prezentați sunt bazați pe principiile de decuplare și de reducere de bandwidth, și pot simula multe tipuri de transport de lumină.

Algoritmii decuplați prezentați în această teză separă complet procesul de determinare de vizibilitate, citirea din texturi și metodele de colorare, toate acestea în contextul desenării cu rasterizare. Acest lucru este efectuat fără stocarea unui număr mare de eşantioane și fără a sincroniza soluții bazate pe programare dinamică. Soluțiile decuplate oferite cresc ușurința analizei surselor de aliasing, stabilitatea redării și dezvoltarea și menținerea software-ului care le implementează. Principiile decuplării sunt aplicate pentru redarea cu rasterizare a obiectelor opace și transparente, în doi noi algoritmi: „Deferred Virtual” și „Transparentă Independentă de Ordine Virtuală”, care oferă rezultate superioare față de algoritmii de ultimă oră. De asemenea, un nou algoritm de anti aliasing este introdus în teza, bazat pe aceleași principii de decuplare. Algoritmii sunt special construiți pentru metodele de tip „Deferred”, și oferă un proces de reconstrucție superior metodei de ultimă oră pe care o îmbunătățește.

Voxelizarea conservativă inexactă este un tip nou de voxelizare și se distinge de metodele de ultimă oră prin faptul că are o complexitate de construcție de $O(\text{obiecte})$ în loc de $O(\text{primitive})$. Această nouă structură de date poate fi folosită în transportul aproximativ de lumină în timp real, mai ales pentru lumina de frecvență joasă. Metoda rezolvă problema dificilă a redării cu mult umbre în timp real, prin faptul că poate fi folosită ca un suport pentru trasare de raze de vizibilitate. Voxelizarea conservativă inexactă este adaptată în această teză pentru a fi folosită împreună cu metode de transport aproximativ de lumina speculară, augmentând cazurile de eșec ale algoritmilor de ultimă oră. Acest rezultat este obținut fără consumurile foarte mari de spațiu de stocare și de bandwidth ce sunt prezente în soluțiile de ultimă oră pentru transportul de lumină de înaltă frecvență.

Teza introduce de asemenea conceptul de operator de vizibilitate adaptiv, care scade ca și calitate în zonele cele mai dificil de perceput ale scenei și care permite simularea transportului de lumină în timp real cu rezultate comparabile cu tehnici de ultimă oră, cu costuri computaționale mult mai mari.

Eșantionarea de importanță „Light Flux” este o altă contribuție a tezei, ce accelerează algoritmul „Path Tracing Bidirecțional”. Comparat cu celelalte metode de eșantionare de importanță de ultimă oră, „Light Flux” oferă informații directe asupra fluxului global de lumina. Astfel „Light Flux” ghidează explorările de lumină neproductive fără a specula natura transportului de lumina din scenă, așa cum este făcut în metodele de ultimă oră. „Light Flux” crește rata de convergență a algoritmului „Path Tracing Bidirecțional”.

Teza mai introduce și alte contribuții precum un algoritm de reconstrucție de seturi de date volumetrice masive, impostori ierarhici pentru scene foarte mari, generare de sarcini și metode noi de paralelizare pe GPU, algoritmi de decupare pe cadre multiple, metrici de analiză a metodelor de „Deferred” și hărți de ocupare cu distribuții. Acestea sunt descrise pe larg în teza.

BIBLIOGRAFIE

- [Pet11] L. Petrescu, A. Morar, F. Moldoveanu, and V. Asavei, "Real time reconstruction of volumes from very large datasets using CUDA", in *15th International Conference on System Theory, Control, and Computing (ICSTCC)*, pp. 1-5, 2011.
- [SAB15] SABIMAS. (2015, Aug.) Personalized implants for hip arthroplasty, (SABIMAS, PNCDII-Joint Applied Research Projects, 2008-2011). [Online]. HYPERLINK "http://se.cs.pub.ro/SABIMAS/" <http://se.cs.pub.ro/SABIMAS/>
- [Mor13] A. Morar, F. Moldoveanu, V. Asavei, L. Petrescu, A. Moldoveanu, and A. Egner, "GPGPU Based Non-photorealistic Rendering of Volume Data", *Control Engineering and Applied Informatics (CEAI)*, vol. 15, no. 1, pp. 45-52, 2013.
- [Pet14] L. Petrescu, F. Moldoveanu, V. Asavei, A. Moldoveanu, and O. Ferche, "A GPU Task Generator for Rendering", in *ICSTCC 2014 - 18th International Conference On System Theory, Control and Computing*, pp. 562-567, 2014.
- [Pet151] L. Petrescu, F. Moldoveanu, V. Asavei, and A. Moldoveanu, "Virtual deferred rendering", in *20th International Conference on Control Systems and Computer Science (CSCS)*, pp. 373-378, 2015.
- [Pet152] L. Petrescu, F. Moldoveanu, V. Asavei, and A. Moldoveanu, "Guarded Order Independent Transparency", *Scientific Bulletin of University POLITEHNICA of Bucharest, Series C, Electrical Engineering and Computer Science*, vol. 77, no. 1, pp. 3-14, Apr. 2015.
- [Pet13] L. Petrescu, F. Moldoveanu, A. Moldoveanu, A. Morar, and V. Asavei, "Efficient Picking Through Atomic Operations", in *19th International Conference on Control Systems and Computer Science (CSCS)*, pp. 66-70, 2013.
- [Pet15] L. Petrescu, F. Moldoveanu, V. Asavei, and A. Moldoveanu, "Analyzing Deferred Rendering Techniques", *Control Engineering and Applied Informatics (CEAI)*, accepted, to be published, 2015.